

ISSN 0555-2923

РОССИЙСКАЯ АКАДЕМИЯ НАУК

---

# Проблемы передачи информации



том **59** вып. **3**

2023

РОССИЙСКАЯ АКАДЕМИЯ НАУК  
ПРОБЛЕМЫ  
ПЕРЕДАЧИ ИНФОРМАЦИИ

Журнал основан  
в январе 1965 г.

ISSN: 0555-2923

Выходит  
4 раза в год

Том 59, 2023

Вып. 3

Москва

---

---

СОДЕРЖАНИЕ

Теория кодирования

- Станоевич И., Шенк В. Сверточные коды с оптимальным двусторонним профилем расстояний ..... 3
- Боржес Ж., Зиновьев В.А., Зиновьев Д.В. О перечислении полностью регулярных кодов с радиусом покрытия два и дуальными антиподальными кодами ..... 26

## CONTENTS

### Coding Theory

<b>Stanojević, I. and Šenk, V.,</b> Convolutional Codes with Optimum Bidirectional Distance Profile .....	3
<b>Borges, J., Zinoviev, V.A., and Zinoviev, D.V.,</b> On the Classification of Completely Regular Codes with Covering Radius Two and Antipodal Duals .....	26

УДК 621.391 : 519.725.3

© 2023 г. И. Станоевич, В. Шенк

**СВЕРТОЧНЫЕ КОДЫ С ОПТИМАЛЬНЫМ ДВУСТОРОННИМ ПРОФИЛЕМ РАССТОЯНИЙ<sup>1</sup>**

Двусторонний профиль расстояний (ДПР) сверточного кода определяется как минимум из профилей расстояний этого кода и соответствующего ему “инверсного” кода. Представлены таблицы кодов с оптимальным ДПР (ОДПР-кодов), минимизирующих среднюю сложность алгоритмов двустороннего последовательного декодирования. Компьютерный поиск можно ускорить благодаря тому, что коды с оптимальным профилем расстояния (ОПР) большей памяти имеют в качестве своих префиксов ОПР-коды меньшей памяти, а также тому, что ОДПР-коды можно получать путем конкатенации ОПР- и инверсных ОПР-кодов с меньшей памятью. С помощью моделирования проводится сравнение производительности ОДПР-кодов и других кодов.

*Ключевые слова:* сверточные коды, профиль расстояний, двустороннее декодирование.

**DOI:** 10.31857/S0555292323030014, **EDN:** FQBJWI

**§ 1. Введение**

Пусть

$$G(D) = \begin{bmatrix} g_{11}(D) & \dots & g_{1n}(D) \\ \dots & \dots & \dots \\ g_{k1}(D) & \dots & g_{kn}(D) \end{bmatrix} \tag{1}$$

– порождающая матрица сверточного кодера со скоростью  $R = k/n$ , где  $g_{ij}(D) \in \mathbb{F}_2[D]$  – двоичные порождающие многочлены, и пусть  $m = \max_{i,j} \deg(g_{ij}(D))$  – его память.

Тогда  $\ell$ -м значением функции столбцового расстояния (ФСР) кода [1] называется

$$d_\ell = \min_{\mathbf{u}: \mathbf{u}_0 \neq \mathbf{0}} w_H(\mathbf{v}_{[0,\ell]}), \tag{2}$$

где  $w_H(\cdot)$  – вес Хэмминга последовательности, двоичные векторы  $\mathbf{u} = (\mathbf{u}_0, \mathbf{u}_1, \dots)$  и  $\mathbf{v} = (\mathbf{v}_0, \mathbf{v}_1, \dots)$  представляют собой  $k$ -мерную информационную последовательность и  $n$ -мерное кодовое слово соответственно, и для последовательности  $\mathbf{x}$  мы обозначаем  $x_{[a,b]} = (x_a, x_{a+1}, \dots, x_b)$ . Если для двух ФСР  $\mathbf{d} = (d_0, d_1, \dots)$  и  $\mathbf{d}' = (d'_0, d'_1, \dots)$  выполнены условия  $d_0 = d'_0, \dots, d_{\ell-1} = d'_{\ell-1}, d_\ell > d'_\ell$  для некоторого  $\ell$ , то будем говорить, что  $\mathbf{d}$  лучше, чем  $\mathbf{d}'$ , или  $\mathbf{d} > \mathbf{d}'$ . Кодом с оптимальной ФСР  $\mathbf{d}^*$  для заданных параметров  $k, n$  и  $m$  будем называть такой код, для которого не существует другого кода с теми же параметрами, чья ФСР  $\mathbf{d}$  лучше, чем  $\mathbf{d}^*$ . Профилем расстояний (ПР)

<sup>1</sup> Работа выполнена при поддержке Министерства образования, науки и технологического развития Республики Сербия в рамках проекта № 451-03-68/2020-14/200156: “Инновационные научные и творческие исследования в области деятельности факультета технических наук”.

кода [1] называется его усеченная ФСР  $d_{[0,m]}$ , где сравнение и оптимальность определяются таким же образом. Чтобы иметь большую гибкость при выборе оптимизируемых свойств кода, определим также укороченный профиль расстояний  $\text{ПР}^{(s)}$  для  $s < m$  как  $d_{[0,m-s]}$ , и для удобства обозначений будем обозначать ФСР через  $\text{ПР}^{(-\infty)}$ .

В наиболее часто используемых алгоритмах последовательного декодирования, таких как стек-алгоритм [2, 3] и алгоритм Фано [4], применение ОПР-кодов минимизирует среднее число расширений узлов кодового дерева. Влияние ФСР и ПР на сложность декодирования было изучено для двоичного симметричного канала [5] и канала с аддитивным белым гауссовским шумом (АБГШ-канала) [6]. В обоих случаях желательнее, чтобы значения  $d_\ell$  росли как можно быстрее в начале ФСР, откуда и вытекает определение ее оптимальности, причем начальные значения оказывают более существенное влияние. ОПР-коды и коды, оптимизированные по другим критериям, широко исследовались, например, в [7–15].

Хотя сложность стандартных алгоритмов однонаправленного декодирования минимизируется при использовании ОПР-кодов, это не относится к алгоритмам двустороннего декодирования, например, [16–19]. Количество посещенных узлов в прямом кодовом дереве зависит от ПР исходного кода (прямой ПР), а в обратном кодовом дереве – от ПР “инверсного” кода (обратный ПР).

В большинстве случаев, когда алгоритм последовательного декодирования не способен выдать правильную последовательность, это связано со слишком большим количеством посещенных узлов в его кодовом дереве (деревьях), что приводит к переполнению памяти или чрезмерно большому времени декодирования. В § 2 описывается процедура эффективного поиска кодов, удобных для декодирования алгоритмами двустороннего последовательного декодирования. Коды с оптимизированным прямым и обратным ПР стремятся минимизировать количество узлов в обоих кодовых деревьях декодера. В § 3 представлены коды, найденные с помощью этой процедуры для некоторых из выбранных наборов параметров. В § 4 производительность этих кодов сравнивается с другими оптимизированными кодами, используемыми при декодировании по методу максимального правдоподобия (Витерби), а также при одностороннем и двустороннем стековом декодировании. Улучшения в терминах вероятности ошибки на блок (FER) и общей сложности декодирования вычисляются с помощью имитационного моделирования.

## § 2. Двусторонний профиль расстояний

Пусть  $\bar{G}(D) = D^m G(D^{-1})$  – порождающая матрица инверсного кода для кода, порожденного матрицей  $G(D)$ , с элементами  $\bar{g}_{ij}(D)$ . Пусть  $\bar{\mathbf{d}} = (\bar{d}_0, \bar{d}_1, \dots)$  – ФСР инверсного кода. Чтобы учитывать оба направления декодирования, определим двустороннюю ФСР (ДФСР)  $\hat{\mathbf{d}}$  как последовательность значений  $\hat{d}_\ell = \min(d_\ell, \bar{d}_\ell)$  и двусторонний ПР<sup>(s)</sup> (ДПР<sup>(s)</sup>) как  $\hat{d}_{[0,m-s]}$ , а также соответствующие оптимальные ДФСР- и ДПР<sup>(s)</sup>-коды (ОДФСР- и ОДПР<sup>(s)</sup>-коды).

Через  $g_{ij}^{(\ell)}$  обозначим  $\ell$ -й коэффициент порождающего многочлена  $g_{ij}(D)$ , и положим

$$G^{(\ell)} = \begin{bmatrix} g_{11}^{(\ell)} & \cdots & g_{1n}^{(\ell)} \\ \dots & \dots & \dots \\ g_{k1}^{(\ell)} & \cdots & g_{kn}^{(\ell)} \end{bmatrix} \quad (3)$$

и

$$G^{[a,b]}(D) = \sum_{\ell=a}^b G^{(\ell)} D^\ell, \quad (4)$$

$$\bar{G}^{[a,b]}(D) = \sum_{\ell=a}^b G^{(m-\ell)} D^\ell, \quad (5)$$

так что  $G(D) = G^{[0,m]}(D)$  и  $\bar{G}(D) = \bar{G}^{[0,m]}(D)$ . Кроме того, для

$$G(D) = G^{[0,p]}(D) + G^{[p+1,m]}(D)$$

будем говорить, что  $G^{[0,p]}(D)$  является префиксом  $G(D)$  и что  $G(D)$  получена конкатенацией  $G^{[0,p]}(D)$  и  $G^{[p+1,m]}(D)$ . Нетрудно видеть, что если код, задаваемый матрицей  $G(D)$ , является ОПП-кодом, то код, задаваемый матрицей  $G^{[0,p]}(D)$ , также должен быть ОПП-кодом.

Если память кода  $m$  нечетна, то можно рассмотреть аналогичное разложение порождающей матрицы в виде

$$G(D) = G^F(D) + D^m G^B(D^{-1}), \quad (6)$$

где

$$G^F(D) = G^{[0,(m-1)/2]}(D), \quad (7)$$

$$G^B(D) = \bar{G}^{[0,(m-1)/2]}(D). \quad (8)$$

В этом случае мы называем  $G^F(D)$  прямой половиной матрицы  $G(D)$ , а  $G^B(D)$  – обратной половиной, и порождающую матрицу инверсного кода можно выразить как

$$\bar{G}(D) = G^B(D) + D^m G^F(D^{-1}).$$

Из определений соответствующих ФСР видно, что  $\hat{d}_{[0,(m-1)/2]}$  зависит только от  $G^F(D)$ , а  $\hat{d}_{[0,(m-1)/2]}$  – только от  $G^B(D)$ . Так как мы можем выбирать  $G^F(D)$  и  $G^B(D)$  независимо, то первую половину ДПР  $\hat{d}_{[0,(m-1)/2]}$  можно сделать равной первой половине ОПП  $d_{[0,(m-1)/2]}^*$  тогда и только тогда, когда обе матрицы  $G^F(D)$  и  $G^B(D)$  задают ОПП-коды с памятью  $(m-1)/2$ .

Если память кода  $m$  четна, то можно разложить порождающую матрицу как

$$G(D) = G^F(D) + G^{(m/2)} D^{m/2} + D^m G^B(D^{-1}), \quad (9)$$

где на этот раз

$$G^F(D) = G^{[0,m/2-1]}(D), \quad (10)$$

$$G^B(D) = \bar{G}^{[0,m/2-1]}(D). \quad (11)$$

В этом случае можно оптимизировать  $\hat{d}_{[0,m/2-1]}$  аналогичным образом.

Для описания процедуры нахождения ОДФСР- и ОДПР<sup>(s)</sup>-кодов нам понадобятся несколько определений. В поле  $\mathbb{F}_2$  положим  $0 < 1$ . Двоичные многочлены сравниваются лексикографически, т.е. для  $g(D), h(D) \in \mathbb{F}_2[D]$  полагаем  $g(D) < h(D)$ , если  $g^{(0)} = h^{(0)}, \dots, g^{(\ell-1)} = h^{(\ell-1)}, g^{(\ell)} < h^{(\ell)}$  для некоторого  $\ell$ . Векторы из двоичных многочленов сравниваются лексикографически, т.е. для  $\mathbf{x}, \mathbf{y} \in (\mathbb{F}_2[D])^r$  полагаем  $\mathbf{x} < \mathbf{y}$ , если  $x_1 = y_1, \dots, x_{\ell-1} = y_{\ell-1}, x_\ell < y_\ell$  для некоторого  $\ell$ . Если  $\mathbf{g}_{i*}$  ( $\mathbf{g}_{*j}$ ) –  $i$ -я строка ( $j$ -й столбец) ( $k \times n$ )-матрицы  $G(D)$ , то будем говорить, что матрица имеет упорядоченные строки (столбцы), если  $\mathbf{g}_{1*} \leq \dots \leq \mathbf{g}_{k*}$  ( $\mathbf{g}_{*1} \leq \dots \leq \mathbf{g}_{*n}$ ). Через  $\Pi_\ell$  обозначим множество всех перестановок элементов  $\{1, \dots, \ell\}$ .

Для заданных  $k$  и  $n$  обозначим через  $\mathcal{U}_m$  множество ОПП-кодов с памятью  $m$ , а через  $\mathcal{B}_m$  – множество ОДФСР-кодов (ОДПР<sup>(s)</sup>-кодов) с памятью  $m$ . ОДФСР-коды (ОДПР<sup>(s)</sup>-коды) можно находить с помощью следующей двухэтапной процедуры:

**I. Найти все ОНР-коды для требуемых значений  $m$ .**

1. Положить  $\mathcal{U}_{-1} = \{\mathbf{0}_{k \times n}\}$ .  
Положить  $m = 0$ .
2. Для всех префиксов  $G'(D) \in \mathcal{U}_{m-1}$ :  
Для всех двоичных  $(k \times n)$ -матриц  $G^{(m)}$ :  
Рассмотреть  $G(D) = G'(D) + G^{(m)}D^m$ .  
Если  $G(D)$  имеет упорядоченные строки и столбцы, вычислить ее ПР.  
Оставить в  $\mathcal{U}_m$  только те матрицы, которые имеют наилучшие ПР среди всех вычисленных.
3. Если требуется больше множеств, положить  $m = m + 1$  и перейти к шагу 2.

**II. Найти все ОДФСР-коды (ОДПР<sup>(s)</sup>-коды) для всех требуемых значений  $m$ .**

1. Положить  $m = \max(1, 2s - 1)$ .
2. Положить  $\mathcal{B}_m = \{\}$ .  
Положить  $p = \lfloor (m - 1)/2 \rfloor$ .
3. Для всех  $G^F(D) \in \mathcal{U}_p$  и для всех  $G^B(D) \in \mathcal{U}_p$ :  
[Только для четных  $m$ ]  
[Для всех двоичных  $(k \times n)$ -матриц  $G^{(m/2)}$ .]  
Для всех  $\pi \in \Pi_k$  и всех  $\rho \in \Pi_n$ :  
Рассмотреть

$$G(D) = G^F(D) + [G^{(m/2)}D^{m/2}] + D^m \underline{G}^B(D^{-1}),$$

где  $\underline{g}_{i,j}^B(D) = g_{\pi(i),\rho(j)}^B(D)$ .

Если  $G(D)$  не задает катастрофический кодер [1], вычислить его ДФСР (ДПР<sup>(s)</sup>).

Оставить в  $\mathcal{B}_m$  только те матрицы, которые имеют наилучшие ДФСР (ДПР<sup>(s)</sup>) среди всех вычисленных.

4. Для всех пар матриц  $G'(D), G''(D) \in \mathcal{B}_m, G'(D) \neq G''(D)$ :  
Для всех  $\pi \in \Pi_k$  и всех  $\rho \in \Pi_n$ :  
Если  $G'(D)$  и  $G''(D)$  тривиально эквивалентны, т.е.  $g'_{i,j}(D) = g''_{\pi(i),\rho(j)}(D)$  для всех  $i, j$  или  $g'_{i,j}(D) = \bar{g}''_{\pi(i),\rho(j)}(D)$  для всех  $i, j$ , удалить из  $\mathcal{B}_m$  лексикографически бóльшую из матриц  $G'(D)$  и  $G''(D)$ .
5. Если требуется больше множеств, положить  $m = m + 1$  и перейти к шагу 2.

На первом этапе этой процедуры мы проверяем, имеет ли порождающая матрица упорядоченные строки и столбцы, чтобы избежать повторных вычислений тождественных ПР эквивалентных кодеров, различающихся только порядком входов или выходов.

На втором этапе процедуры циклы по перестановкам строк и столбцов матриц  $G^B(D)$  необходимы, поскольку хотя  $d_{[0,p]} = \bar{d}_{[0,p]} = \hat{d}_{[0,p]} = d_{[0,p]}^*$  для всех таких кодов, вторая часть их ДФСР  $\hat{d}_{[p+1,\infty]}$  (их ДПР<sup>(s)</sup>  $\hat{d}_{[p+1,m-s]}$ ) изменяется, и ее следует оптимизировать.

В большинстве случаев второй этап можно ускорить, пропуская цикл по двоичным матрицам  $G^{(m/2)}$  (выделенный квадратными скобками и выполняемый только для четных  $m$ ). Идея состоит в том, чтобы взять  $G^F(D) = G^{[0,m/2]}(D)$  и выбирать в качестве этих матриц все элементы  $\mathcal{U}_{m/2}$  вместо  $\mathcal{U}_{m/2-1}$  и вычислять ДФСР (ДПР<sup>(s)</sup>) всех конкатенаций. Отсюда следует, что  $d_{m/2} = d_{m/2}^*$ , но не обязательно  $\bar{d}_{m/2} = d_{m/2}^*$ . Однако если это последнее условие выполнено, что можно проверить после того как множество  $\mathcal{B}_m$  полностью построено, то такое сокращение перебора не будет влиять на оптимальность  $\hat{d}_{[0,m/2]}$ .

При поиске ОДПР<sup>(s)</sup>-кодов с  $s \geq 2$  мы ограничиваемся случаем  $m \geq 2s - 1$ , чтобы упростить процедуру. Когда  $m < 2s - 1$ , конкатенация  $G^F(D), G^B(D) \in \mathcal{U}_{(m-1)/2}$  для нечетных  $m$  или  $G^F(D) \in \mathcal{U}_{m/2}$  и  $G^B(D) \in \mathcal{U}_{m/2-1}$  для четных  $m$  может быть неоправданной, поскольку требуется лишь оптимальность  $\hat{d}_{[0, m-s]}$ , а поиск должен включать в себя цикл по всем “промежуточным” матрицам  $G^{[m+1-s, s-1]}(D)$ .

Для некоторых значений  $k$  и  $n$  следует рассматривать специальный случай  $m = 1$  отдельно, выполняя при этом полный перебор по всем кодам, так как конкатенация  $G^F(D), G^B(D) \in \mathcal{U}_0$  может давать только порождающие матрицы катастрофических кодов.

### § 3. Результаты поиска кодов

В общем случае, для заданных  $k, n$  и  $m$  ОДФСР- и ОДПР<sup>(s)</sup>-коды не единственны. Для оптимизации их вероятности ошибки мы проводили дополнительный отбор по спектрам информационных расстояний  $\mathbf{c} = (c_1, c_2, \dots)$ . Пусть событие ошибки означает путь в кодовой решетке, который начинается в нулевом состоянии, выходит из него в самом начале и возвращается в нулевое состояние только при своей терминации. Тогда  $c_d$  — это сумма весов Хэмминга информационных последовательностей всех событий ошибок, кодовые слова которых имеют вес Хэмминга  $d$ . Как и ранее, мы полагаем  $\mathbf{c} < \mathbf{c}'$ , если  $c_1 = c'_1, \dots, c_{\ell-1} = c'_{\ell-1}, c_{\ell} < c'_{\ell}$  для некоторого  $\ell$ , и ищем наименьший  $\mathbf{c}$  [14].

В табл. 1–6 приведены порождающие матрицы ОДФСР- и ОДПР<sup>(s)</sup>-кодов для скоростей  $1/2, 1/3, 1/4, 2/3, 2/4$  и  $3/4$  в восьмеричной записи (с использованием правила, принятого в [7], т.е. с выравниваем влево), а также свободные расстояния этих кодов. Из-за недостатка места здесь приведены не все найденные нами коды; более полные результаты см. в [20].

В таблицах ОДПР<sup>(s)</sup>-кодов перечислены только улучшенные коды. Здесь под “улучшенными” мы понимаем коды с лучшими спектрами информационных расстояний, чем у ОДПР<sup>(s-1)</sup>-кодов (или ОДФСР-кодов при  $s = 0$ ) с теми же  $k, n$  и  $m$ . Для  $R = 3/4$  и  $m = 3$  улучшенных ОДПР<sup>(2)</sup>-кодов нет.

Все эти коды имеют оптимизированные спектры информационных расстояний. Все матрицы единственны с точностью до инверсии и перестановок их строк или столбцов, за исключением случаев

- $R = 2/4$ , ОДФСР,  $m = 6$ ,
- $R = 2/4$ , ОДПР<sup>(0)</sup>,  $m = 4$ ,
- $R = 2/4$ , ОДПР<sup>(2)</sup>,  $m = 6$ ,

где коды имеют одинаковые спектры информационных расстояний, но их порождающие матрицы отличаются нетривиальным образом.

Таблица 1  
ОДФСР/ОДПР-коды,  $R = 1/2$

$m$	$G(D)$	$d_{\infty}$
ОДФСР-коды		
1	[2 6]	3
2	[5 7]	5
3	[54 64]	6
4	[46 62]	6
5	[57 75]	8
6	[564 774]	8

7	[452 756]	10
8	[477 635]	10
9	[5414 6064]	10
10	[4522 6006]	9
11	[4417 6171]	12
12	[54464 60014]	11
13	[57276 76572]	12
14	[40375 71637]	12
15	[406564 710774]	16
16	[445222 611106]	14
17	[563477 771635]	16
18	[5632374 7713164]	18
19	[5574376 7513272]	20
20	[5736137 7643675]	18
21	[51265734 66263624]	21
22	[46701662 62153046]	21
23	[42544077 72625251]	22
24	[543567064 742331074]	23
25	[407402732 675600306]	21
26	[473063215 632451617]	24
27	[4624275754 6261156024]	26
28	[5665532672 6364242746]	22
29	[4644230357 7560621131]	24
30	[50160016024 67671635754]	26
31	[50107314766 67631561012]	26
Улучшенные ОДПР <sup>(0)</sup> -коды		
6	[534 724]	8
9	[4674 7544]	12
11	[4173 6605]	13
12	[52274 71664]	15
15	[440564 616714]	17
16	[445362 611036]	17
17	[401177 670535]	18
18	[4440574 6107364]	20
19	[4560552 6062726]	20
20	[4775443 6344455]	20
21	[50265354 67453424]	21
22	[46176562 62453546]	23
23	[41732353 70767461]	24
24	[415755274 704555144]	24
25	[416262512 706141156]	25
26	[512043315 731676517]	27
27	[4147233534 7053240024]	27
28	[4075047376 6757475322]	28
29	[4317713123 6562116075]	29
30	[46747737324 62131433034]	28
31	[46026512472 75150113146]	30
Улучшенные ОДПР <sup>(1)</sup> -коды		
10	[4046 6772]	12
16	[406072 674546]	18
23	[50635563 72252135]	24

27	[4165155544 7064264114]	28
30	[51477667274 73460644664]	30
Улучшенные ОДПР <sup>(2)</sup> -коды, $m \geq 3$		
4	[46 72]	7
6	[434 724]	9
8	[435 657]	12
11	[4363 7335]	14
13	[42756 64712]	16
17	[434323 731231]	19
20	[4147563 6624135]	22
24	[417136244 707535014]	25
28	[4151623456 7041374442]	28
31	[55701344176 75157532472]	31
Улучшенные ОДПР <sup>(3)</sup> -коды, $m \geq 5$		
5	[53 75]	8
7	[452 766]	10
9	[4554 7524]	12
12	[46554 75624]	15
14	[52635 71077]	17
18	[4066164 7105374]	20
21	[44632424 76170134]	23
25	[415744152 704555326]	26
29	[4027363533 7175037345]	30
Улучшенные ОДПР <sup>(4)</sup> -коды, $m \geq 7$		
10	[4752 6166]	14
13	[43372 65446]	16
15	[412764 667114]	18
19	[5327632 7026236]	22
22	[42431526 72713352]	24
26	[506477557 722102055]	27
30	[52762256724 64643055434]	30
Улучшенные ОДПР <sup>(5)</sup> -коды, $m \geq 9$		
11	[4325 6747]	15
14	[42437 72711]	17
16	[551576 755072]	19
20	[4271771 6465163]	22
23	[40560411 67665743]	24
27	[4020517504 7170726534]	28
31	[42523570626 64546507642]	32

Таблица 2

ОДФСР/ОДПР-коды,  $R = 1/3$

$m$	$G(D)$	$d_\infty$
ОДФСР-коды		
1	[2 4 6]	4
2	[5 7 7]	8
3	[44 54 74]	9
4	[52 66 76]	12

5	[45 51 77]	12
6	[434 564 704]	13
7	[446 616 722]	14
8	[533 575 665]	15
9	[4674 6754 7544]	18
10	[5772 6056 7206]	18
11	[4135 5057 7263]	21
12	[51624 66234 71154]	22
13	[53256 65126 72552]	20
14	[40701 53765 67273]	22
15	[520454 644124 733334]	26
16	[403402 517712 730156]	24
17	[421765 531607 706321]	29
18	[4304304 5060254 6501424]	23
19	[4763236 6146306 7454762]	26
20	[5704623 6231075 7432617]	31
21	[46324714 54425344 62027664]	32
22	[40666602 53634752 67377566]	34
23	[51275623 66500617 71746075]	37
24	[551571614 616366264 770370374]	34
25	[527061652 641577756 737773026]	36
26	[533361127 650525053 724436665]	38
27	[4017417334 5150442624 7336076004]	38
28	[4333324526 5054103212 6522555542]	41
29	[4446061757 5406076103 7460043031]	38
30	[44137047714 63744372044 76211621174]	41
31	[40043101266 65362363716 71200036512]	45
Улучшенные ОДПР <sup>(0)</sup> -коды		
3	[54 64 74]	10
5	[43 57 71]	12
6	[474 514 764]	14
7	[466 536 662]	16
8	[575 623 727]	18
13	[40246 53322 67576]	22
25	[513467436 664525446 716556172]	41
28	[4430505436 5463114632 7432121422]	41
29	[4156353665 5272053621 6646554507]	44
Улучшенные ОДПР <sup>(1)</sup> -коды		
1	[2 6 6]	5
5	[57 63 75]	12
9	[4464 5154 6374]	18
10	[4662 5646 6272]	20
27	[5040413754 6772040424 7075467434]	40
Улучшенные ОДПР <sup>(2)</sup> -коды, $m \geq 3$		
5	[45 53 67]	12
6	[514 564 674]	15
7	[456 646 772]	16
10	[4732 5562 6346]	21
15	[431724 507134 651654]	28
16	[472562 571076 761172]	28
21	[43617114 50176144 65531464]	34

24	[522211124 730404334]	35
28	[4331523516 5216527052 7134531542]	44
Улучшенные ОДПР <sup>(3)</sup> -коды, $m \geq 5$		
5	[47 53 75]	13
6	[474 534 664]	15
7	[452 662 756]	16
9	[4754 5324 6744]	20
12	[42664 53714 70344]	23
17	[422543 662711 725135]	29
18	[5373724 6575134 7227654]	26
20	[4602545 5611033 7747647]	33
26	[410707237 506133675 724647071]	41
Улучшенные ОДПР <sup>(4)</sup> -коды, $m \geq 7$		
9	[4714 5334 7724]	20
10	[4456 6546 7672]	22
11	[4551 5157 7353]	22
13	[42162 51572 64476]	24
14	[45755 55163 75271]	27
16	[431516 675542 731052]	28
19	[4340472 5270746 7165336]	32
21	[40555364 65473174 71462344]	35
22	[42105642 66074416 72756752]	36
24	[455116344 574065364 603503174]	39
26	[432166577 504132623 653567051]	42
29	[5341100365 6555670627 7205114353]	44
31	[41775322742 64230711252 70124437316]	48
Улучшенные ОДПР <sup>(5)</sup> -коды, $m \geq 9$		
9	[4764 5134 6674]	20
10	[4652 5662 7716]	22
11	[4671 6625 7537]	24
12	[47274 51454 63364]	24
15	[451464 556414 756174]	28
17	[426163 664435 722757]	32
18	[5361654 6561724 7237134]	31
20	[4610365 5460353 6233627]	34
22	[41070752 52326416 66353642]	37
23	[46652143 56623517 77044371]	38
29	[4252213203 6666141151 7206766575]	45
30	[41056336124 50665003304 72432267234]	46

Таблица 3

ОДФСР/ОДПР-коды,  $R = 1/4$

$m$	$G(D)$	$d_\infty$
ОДФСР-коды		
1	[2 4 6 6]	6
2	[5 5 7 7]	10
3	[44 54 64 74]	12
4	[46 56 62 72]	14
5	[45 51 67 73]	16

6	[434 564 614 704]	17
7	[406 536 602 752]	18
8	[471 525 603 727]	21
9	[4314 5704 6174 7024]	22
10	[4102 5756 6106 7372]	24
11	[4633 5647 6631 7135]	30
12	[41204 52524 62074 74114]	25
13	[47516 57666 66772 71362]	32
14	[41057 52225 60503 75041]	27
15	[435314 503024 632704 760174]	34
16	[467516 545232 661066 713662]	38
17	[442753 564627 657211 723135]	40
18	[4665544 5440464 6604154 7121234]	38
19	[4733366 5746156 6755562 7306372]	38
20	[4502051 5535655 6465507 7055313]	45
21	[41256354 52575164 62006044 74145334]	44
22	[40153002 51135112 63027276 76564146]	46
23	[47015547 57277275 66036033 71554071]	44
24	[433163304 525446524 616735614 746161474]	48
25	[422044512 512220442 605716076 760717206]	48
26	[404671717 510050045 621451423 747473101]	50
27	[4666466064 5415455544 6454006454 7011462034]	50
Улучшенные ОДПР <sup>(0)</sup> -коды		
7	[446 516 622 712]	18
8	[451 525 623 727]	21
10	[4422 5766 6772 7356]	26
11	[4427 5633 6551 7375]	30
21	[44736564 56573444 67431734 73630754]	46
Улучшенные ОДПР <sup>(1)</sup> -коды		
1	[2 6 6 6]	7
6	[444 564 654 734]	19
7	[466 562 636 752]	22
8	[471 525 677 773]	22
10	[4116 5262 6266 7572]	27
18	[4576664 5557644 6425054 7004034]	40
20	[4076427 5363235 6155333 7422331]	46
21	[40236644 53771134 63422764 75637154]	46
Улучшенные ОДПР <sup>(2)</sup> -коды, $m \geq 3$		
8	[455 571 647 733]	24
9	[4744 5564 6374 7514]	24
10	[4546 5532 6162 7736]	28
11	[4563 5537 6531 7235]	31
15	[443644 560034 672664 731054]	35
21	[43553134 50374764 63210644 76045154]	49
Улучшенные ОДПР <sup>(3)</sup> -коды, $m \geq 5$		
6	[454 534 664 744]	19
8	[457 565 633 771]	24
9	[4554 5534 6164 7644]	26
10	[4532 5656 6326 7722]	28
15	[435424 506704 615374 772614]	36

Улучшенные ОДПР <sup>(4)</sup> -коды, $m \geq 7$		
8	[455 523 671 757]	24
9	[4624 5344 6654 7574]	27
10	[4272 5176 6662 7246]	28
11	[4555 5247 6371 7273]	31
12	[45264 57634 64554 72344]	33
19	[4153362 5234356 6243572 7444166]	44
20	[4533731 5502433 6441647 7074515]	46
22	[47153556 57650766 67612772 73353162]	50
Улучшенные ОДПР <sup>(5)</sup> -коды, $m \geq 9$		
10	[4566 5162 6552 7636]	29
11	[4527 5433 6471 7375]	31
12	[45534 50564 63754 71544]	33
13	[43372 52722 65546 71176]	36
14	[44207 56151 67355 73013]	33
15	[423354 532544 614564 774434]	38
21	[42647164 51270354 62464044 77553334]	50
23	[45704327 55073553 65567055 72610751]	48
27	[4126442534 5254267444 6202134254 7416644164]	55

Таблица 4  
ОДФСР/ОДПР-коды,  $R = 2/3$

$m$	$G(D)$	$d_\infty$
ОДФСР-коды		
1	$\begin{bmatrix} 0 & 2 & 6 \\ 6 & 6 & 4 \end{bmatrix}$	3
2	$\begin{bmatrix} 2 & 5 & 7 \\ 7 & 2 & 7 \end{bmatrix}$	5
3	$\begin{bmatrix} 04 & 60 & 74 \\ 40 & 34 & 54 \end{bmatrix}$	6
4	$\begin{bmatrix} 00 & 46 & 62 \\ 42 & 34 & 56 \end{bmatrix}$	6
5	$\begin{bmatrix} 05 & 40 & 73 \\ 67 & 01 & 50 \end{bmatrix}$	8
6	$\begin{bmatrix} 024 & 664 & 770 \\ 420 & 104 & 604 \end{bmatrix}$	7
7	$\begin{bmatrix} 130 & 462 & 642 \\ 462 & 150 & 426 \end{bmatrix}$	10
8	$\begin{bmatrix} 020 & 673 & 757 \\ 505 & 174 & 623 \end{bmatrix}$	10
9	$\begin{bmatrix} 0324 & 6670 & 7614 \\ 7674 & 0444 & 5320 \end{bmatrix}$	13
Улучшенные ОДПР <sup>(0)</sup> -коды		
2	$\begin{bmatrix} 1 & 5 & 6 \\ 5 & 2 & 7 \end{bmatrix}$	5

3	$\begin{bmatrix} 04 & 54 & 60 \\ 50 & 14 & 54 \end{bmatrix}$	6
4	$\begin{bmatrix} 10 & 52 & 66 \\ 42 & 34 & 76 \end{bmatrix}$	8
5	$\begin{bmatrix} 25 & 55 & 76 \\ 63 & 16 & 45 \end{bmatrix}$	10
6	$\begin{bmatrix} 100 & 524 & 744 \\ 514 & 350 & 554 \end{bmatrix}$	10
7	$\begin{bmatrix} 126 & 444 & 662 \\ 742 & 126 & 700 \end{bmatrix}$	12
8	$\begin{bmatrix} 037 & 473 & 532 \\ 676 & 317 & 633 \end{bmatrix}$	13
9	$\begin{bmatrix} 0070 & 5664 & 7244 \\ 4624 & 3344 & 7700 \end{bmatrix}$	14
Улучшенные ОДПР <sup>(1)</sup> -коды		
4	$\begin{bmatrix} 14 & 56 & 62 \\ 46 & 34 & 76 \end{bmatrix}$	8
7	$\begin{bmatrix} 156 & 464 & 716 \\ 560 & 352 & 602 \end{bmatrix}$	12
Улучшенные ОДПР <sup>(2)</sup> -коды, $m \geq 3$		
3	$\begin{bmatrix} 30 & 54 & 54 \\ 54 & 30 & 74 \end{bmatrix}$	7
8	$\begin{bmatrix} 053 & 406 & 755 \\ 421 & 361 & 712 \end{bmatrix}$	13

Таблица 5

ОДФСР/ОДПР-коды,  $R = 2/4$

$m$	$G(D)$	$d_\infty$
ОДФСР-коды		
1	$\begin{bmatrix} 0 & 2 & 6 & 6 \\ 6 & 6 & 0 & 4 \end{bmatrix}$	5
2	$\begin{bmatrix} 1 & 3 & 4 & 6 \\ 4 & 6 & 3 & 1 \end{bmatrix}$	6
3	$\begin{bmatrix} 14 & 34 & 54 & 74 \\ 70 & 60 & 74 & 64 \end{bmatrix}$	8
4	$\begin{bmatrix} 00 & 24 & 46 & 72 \\ 76 & 52 & 04 & 30 \end{bmatrix}$	9
5	$\begin{bmatrix} 04 & 35 & 52 & 77 \\ 73 & 67 & 67 & 73 \end{bmatrix}$	12
6	$\begin{bmatrix} 064 & 210 & 540 & 654 \\ 540 & 654 & 064 & 210 \end{bmatrix}, \begin{bmatrix} 064 & 250 & 540 & 614 \\ 540 & 614 & 064 & 250 \end{bmatrix}$	13
7	$\begin{bmatrix} 024 & 226 & 540 & 632 \\ 546 & 644 & 032 & 240 \end{bmatrix}$	14
Улучшенные ОДПР <sup>(0)</sup> -коды		
3	$\begin{bmatrix} 04 & 30 & 54 & 60 \\ 74 & 44 & 34 & 04 \end{bmatrix}$	8

4	$\begin{bmatrix} 06 & 34 & 52 & 70 \\ 70 & 52 & 34 & 06 \end{bmatrix}$ , $\begin{bmatrix} 10 & 22 & 54 & 76 \\ 76 & 54 & 22 & 10 \end{bmatrix}$	11
5	$\begin{bmatrix} 05 & 34 & 47 & 62 \\ 65 & 47 & 25 & 17 \end{bmatrix}$	12
6	$\begin{bmatrix} 014 & 354 & 544 & 704 \\ 770 & 640 & 664 & 734 \end{bmatrix}$	15
7	$\begin{bmatrix} 052 & 276 & 444 & 730 \\ 674 & 460 & 062 & 326 \end{bmatrix}$	17
Улучшенные ОДПР <sup>(1)</sup> -коды		
5	$\begin{bmatrix} 04 & 36 & 55 & 73 \\ 71 & 73 & 42 & 44 \end{bmatrix}$	13
7	$\begin{bmatrix} 130 & 252 & 466 & 654 \\ 662 & 446 & 226 & 162 \end{bmatrix}$	17
Улучшенные ОДПР <sup>(2)</sup> -коды, $m \geq 3$		
5	$\begin{bmatrix} 12 & 34 & 47 & 75 \\ 63 & 55 & 34 & 16 \end{bmatrix}$	14
6	$\begin{bmatrix} 044 & 360 & 534 & 730 \\ 730 & 534 & 360 & 044 \end{bmatrix}$ , $\begin{bmatrix} 130 & 214 & 560 & 764 \\ 764 & 560 & 214 & 130 \end{bmatrix}$	16

Таблица 6  
ОДФСР-коды,  $R = 3/4$

$m$	$G(D)$	$d_\infty$
ОДФСР-коды		
1	$\begin{bmatrix} 0 & 0 & 2 & 6 \\ 2 & 6 & 4 & 4 \\ 6 & 4 & 0 & 2 \end{bmatrix}$	3
2	$\begin{bmatrix} 0 & 2 & 5 & 5 \\ 0 & 5 & 2 & 7 \\ 7 & 2 & 0 & 7 \end{bmatrix}$	5
3	$\begin{bmatrix} 04 & 34 & 40 & 70 \\ 34 & 44 & 34 & 64 \\ 70 & 54 & 70 & 44 \end{bmatrix}$	6
Улучшенные ОДПР <sup>(0)</sup> -коды		
1	$\begin{bmatrix} 0 & 2 & 4 & 6 \\ 2 & 4 & 2 & 6 \\ 6 & 4 & 4 & 4 \end{bmatrix}$	4
2	$\begin{bmatrix} 2 & 2 & 5 & 7 \\ 2 & 7 & 2 & 5 \\ 7 & 0 & 5 & 0 \end{bmatrix}$	5
3	$\begin{bmatrix} 10 & 14 & 44 & 70 \\ 10 & 70 & 14 & 44 \\ 44 & 10 & 34 & 60 \end{bmatrix}$	8
Улучшенные ОДПР <sup>(1)</sup> -коды		
2	$\begin{bmatrix} 1 & 3 & 4 & 6 \\ 3 & 4 & 2 & 7 \\ 6 & 5 & 1 & 2 \end{bmatrix}$	6

В табл. 7–12 приведены сводные результаты о свободных расстояниях  $d_\infty^{(s)}$  для ОДПР<sup>(s)</sup>-кодов (как и ранее, только для улучшенных кодов). Для каждого множества параметров  $k$ ,  $n$  и  $m$  вычислена соответствующая верхняя граница Грайсмера  $d_\infty^G$  на свободное расстояние как наибольшее  $d_\infty$ , удовлетворяющее неравенству [1]

$$\sum_{\ell=0}^{ki-1} \left\lceil \frac{d_\infty}{2^\ell} \right\rceil \leq (m+i)n \quad (12)$$

для всех  $i = 1, 2, \dots$ . Видно, что некоторые из перечисленных кодов, в основном при малых значениях  $m$ , также оптимальны по свободному расстоянию.

Аналогичная процедура поиска кодов, подходящих для двустороннего декодирования, представлена в [17] для  $R = 1/2$ . Чтобы уменьшить объем поиска, авторы ограничиваются так называемыми симметричными кодами, обладающими тем свойством, что  $g_1(D) = \bar{g}_{\pi(1)}(D)$  и  $g_2(D) = \bar{g}_{\pi(2)}(D)$ , где  $G(D) = [g_1(D) \ g_2(D)]$  и  $\pi \in \Pi_2$ , и тем самым, такими что  $\mathbf{d} = \bar{\mathbf{d}}$ . Сначала выполняется поиск симметричных кодов с  $d_{[0,m]} = d_{[0,m]}^*$ , и из них выбирается код, имеющий наилучший спектр расстояний. Если таких кодов нет, поиск выполняется снова, но на этот раз с ослабленным условием  $d_{[0,m-4]} = d_{[0,m-4]}^*$ . Из-за налагаемого условия симметрии при некоторых значениях  $m$  коды, приведенные в [17], имеют несколько меньшие свободные расстояния, чем наши.

Таблица 7  
Свободное расстояние  $d_\infty^{(s)}$ ,  $R = 1/2$

$m$	$s$							$d_\infty^G$
	$-\infty$	0	1	2	3	4	5	
1	3			–	–	–	–	4
2	5			–	–	–	–	5
3	6				–	–	–	6
4	6			7	–	–	–	8
5	8				8	–	–	8
6	8	8		9		–	–	10
7	10				10		–	11
8	10			12			–	12
9	10	12			12			13
10	9		12			14		14
11	12	13		14			15	16
12	11	15			15			16
13	12			16		16		17
14	12				17		17	18
15	16	17				18		20
16	14	17	18				19	20
17	16	18		19				22
18	18	20			20			23
19	20	20				22		24
20	18	20		22			22	24
21	21	21			23			26
22	21	23				24		27
23	22	24	24				24	28
24	23	24		25				29
25	21	25			26			30
26	24	27				27		32

27	26	27	28			28	32
28	22	28		28			32
29	24	29			30		34
30	26	28	30			30	35
31	26	30		31		32	36

Таблица 8  
Свободное расстояние  $d_{\infty}^{(s)}$ ,  $R = 1/3$

$m$	$s$							$d_{\infty}^G$
	$-\infty$	0	1	2	3	4	5	
1	4		5	–	–	–	–	6
2	8			–	–	–	–	8
3	9	10			–	–	–	10
4	12				–	–	–	12
5	12	12	12	12	13	–	–	13
6	13	14		15	15	–	–	15
7	14	16		16	16		–	16
8	15	18					–	18
9	18		18		20	20	20	20
10	18		20	21		22	22	22
11	21					22	24	24
12	22				23		24	24
13	20	22				24		26
14	22					27		28
15	26			28			28	30
16	24			28		28		32
17	29				29		32	32
18	23				26		31	34
19	26					32		36
20	31				33		34	38
21	32			34		35		40
22	34					36	37	40
23	37						38	42
24	34			35		39		44
25	36	41						46
26	38				41	42		48
27	38		40					48
28	41	41		44				50
29	38	44				44	45	52
30	41						46	53
31	45					48		55

Таблица 9  
Свободное расстояние  $d_{\infty}^{(s)}$ ,  $R = 1/4$

$m$	$s$							$d_{\infty}^G$
	$-\infty$	0	1	2	3	4	5	
1	6		7	–	–	–	–	8
2	10			–	–	–	–	10
3	12				–	–	–	13

4	14				-	-	-	16
5	16					-	-	18
6	17		19		19	-	-	20
7	18	18	22				-	22
8	21	21	22	24	24	24	-	24
9	22			24	26	27		27
10	24	26	27	28	28	28	29	29
11	30	30		31		31	31	32
12	25					33	33	33
13	32						36	36
14	27						33	38
15	34			35	36		38	40
16	38							42
17	40							44
18	38		40					46
19	38					44		48
20	45		46			46		50
21	44	46	46	49			50	52
22	46					50		55
23	44						48	56
24	48							59
25	48							61
26	50							64
27	50						55	64

Таблица 10

Свободное расстояние  $d_{\infty}^{(s)}$ ,  $R = 2/3$

$m$	$s$				$d_{\infty}^G$
	$-\infty$	0	1	2	
1	3			-	4
2	5	5		-	6
3	6	6		7	8
4	6	8	8		8
5	8	10			10
6	7	10			12
7	10	12	12		14
8	10	13		13	16
9	13	14			16

#### § 4. Характеристики кодов

Для сравнения ОДПП<sup>(s)</sup>-кодов с другими кодами, используемыми на практике, мы провели моделирование их вероятности ошибки на блок (FER) и сложности декодирования. В моделировании мы использовали следующие алгоритмы декодирования:

- Алгоритм Витерби (VA),
- Стек-алгоритм (SA) [2, 3],
- Двусторонний стек-алгоритм (BSA) [17].

Таблица 11

Свободное расстояние  $d_{\infty}^{(s)}$ ,  $R = 2/4$ 

$m$	$s$				$d_{\infty}^G$
	$-\infty$	0	1	2	
1	5			–	5
2	6			–	8
3	8	8			10
4	9	11			12
5	12	12	13	14	14
6	13	15		16	16
7	14	17	17		18

Таблица 12

Свободное расстояние  $d_{\infty}^{(s)}$ ,  $R = 3/4$ 

$m$	$s$				$d_{\infty}^G$
	$-\infty$	0	1	2	
1	3	4		–	4
2	5	5	6	–	6
3	6	8			8

Таблица 13

Коды, использованные при моделировании

$R$	$m$	Код	$G(D)$ ; Описание	$d_{\infty}$
1/3	6	$C_{1/3,6}^{ОСПР}$	[554 724 744]; ОСПР, обозначенный через [133 165 171] в [14]	15
	12	$C_{1/3,12}^{ОСПР}$	[55304 64734 76244]; ОСПР, обозначенный через [13261 15167 17451] в [14]	24
	19	$C_{1/3,19}^{ОПР}$	[5531236 6151572 7731724]; ОПР [1]	35
	19	$C_{1/3,19}^{ОДПР}$	[4340472 5270746 7165336]; ОДПР <sup>(4)</sup>	32
	31	$C_{1/3,31}^{ОДПР}$	[41775322742 64230711252 70124437316]; ОДПР <sup>(4)</sup>	48
1/4	6	$C_{1/4,6}^{ОСПР}$	[474 534 664 744]; ОСПР, обозначенный через [117 127 155 171] в [14]	20
	12	$C_{1/4,12}^{ОСВР}$	[46254 56374 65044 75564]; ОСД, обозначенный через [11453 13477 15211 17335] в [13]	33
	21	$C_{1/4,21}^{ОПР}$	[45724414 55057474 65556514 72624710]; ОПР [1]	50
	21	$C_{1/4,21}^{ОДПР}$	[43553134 50374764 63210644 76045154]; ОДПР <sup>(2)</sup>	49
	27	$C_{1/4,27}^{ОДПР}$	[4126442534 5254267444 6202134254 7416644164]; ОДПР <sup>(5)</sup>	55

Коды, использовавшиеся при моделировании, перечислены в табл. 13, где через ОСВР обозначено оптимальное свободное расстояние, а через ОСПР – оптимальный спектр расстояний кодов.

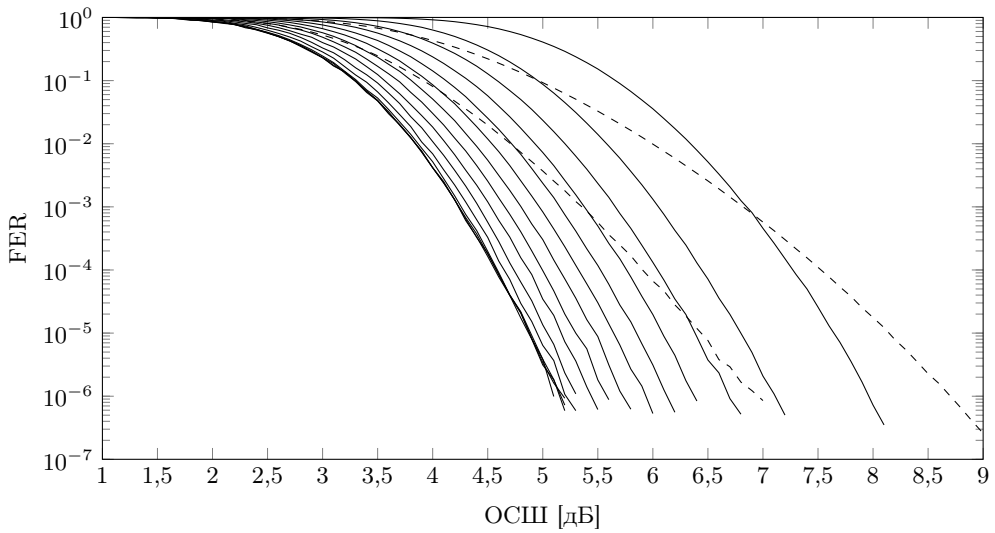


Рис. 1. FER,  $R = 1/3$ :  
 ---  $VA(C_{1/3,6}^{OCnP}), VA(C_{1/3,12}^{OCnP})$ , —  $BSA(C_{1/3,31}^{ODПP}, \{2^{10}, 2^{11}, \dots, 2^{24}\})$

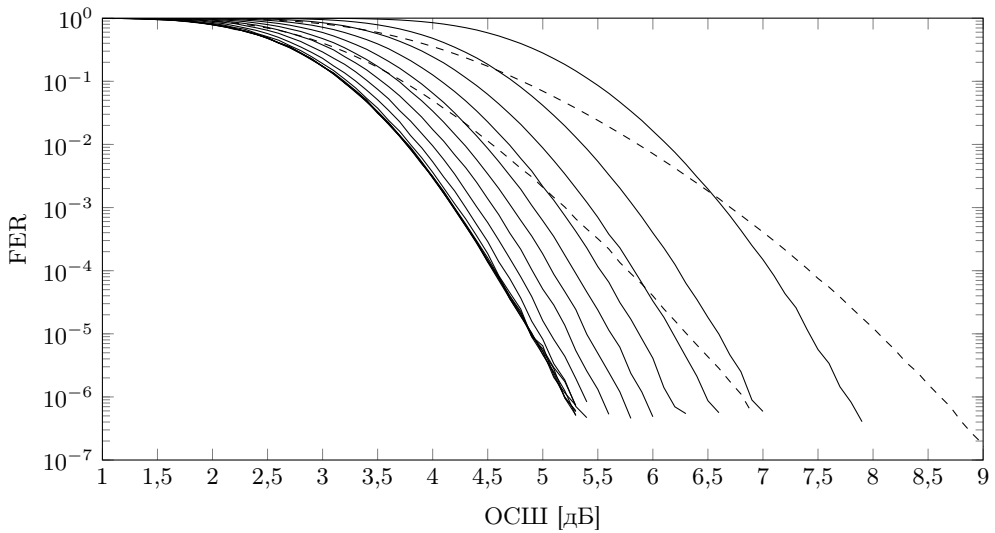


Рис. 2. FER,  $R = 1/4$ :  
 ---  $VA(C_{1/4,6}^{OCnP}), VA(C_{1/4,12}^{OCBP})$ , —  $BSA(C_{1/4,27}^{ODПP}, \{2^{10}, 2^{11}, \dots, 2^{24}\})$

Во всех экспериментах длина информационной последовательности составляла  $K = 224$  двоичных символов, а длина кодовых слов с нулевым усечением —  $(K/k+m)n$  двоичных символов, в зависимости от используемого кода. Использовался АБГШ-канал с двоичным входом и симметричным биполярным отображением, а отношение сигнал/шум (ОСШ) определяется как  $10 \log_{10}(E_b/N_0)$ , где  $E_b$  — энергия на один информационный символ, а  $N_0$  — односторонняя спектральная плотность мощности шума.

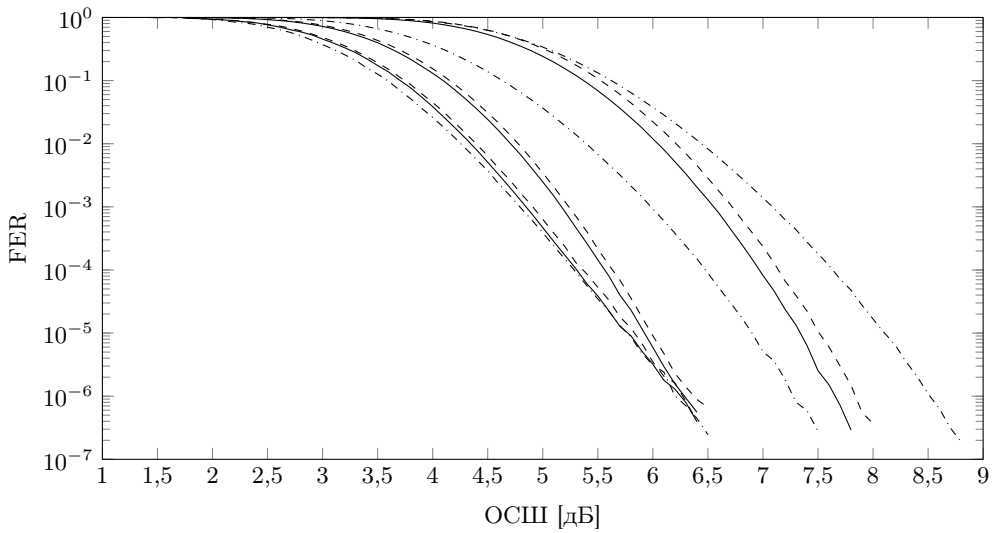


Рис. 3. FER,  $R = 1/3$ :  
 - · - · - SA( $C_{1/3,19}^{\text{ОПР}}, \{2^{10}, 2^{13}, 2^{24}\}$ ),    - - - BSA( $C_{1/3,19}^{\text{ОПР}}, \{2^{10}, 2^{13}, 2^{24}\}$ ),  
 — BSA( $C_{1/3,19}^{\text{ОДПР}}, \{2^{10}, 2^{13}, 2^{24}\}$ )

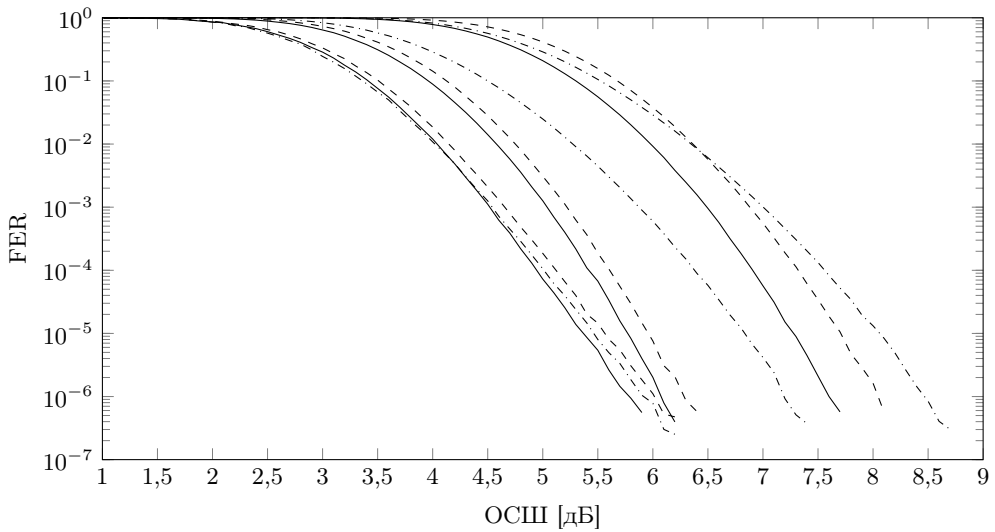


Рис. 4. FER,  $R = 1/4$ :  
 - · - · - SA( $C_{1/4,21}^{\text{ОПР}}, \{2^{10}, 2^{13}, 2^{24}\}$ ),    - - - BSA( $C_{1/4,21}^{\text{ОПР}}, \{2^{10}, 2^{13}, 2^{24}\}$ ),  
 — BSA( $C_{1/4,21}^{\text{ОДПР}}, \{2^{10}, 2^{13}, 2^{24}\}$ )

В описании всех результатов моделирования через  $A(C)$  мы обозначаем применение алгоритма  $A$  к декодированию последовательностей кода  $C$ , и аналогично  $A(C, M)$  в случае, когда в кодовое дерево (деревья) вставляется не более  $M$  узлов. В этом последнем случае  $M$  также может быть множеством значений, если их воздействие анализируется совместно.

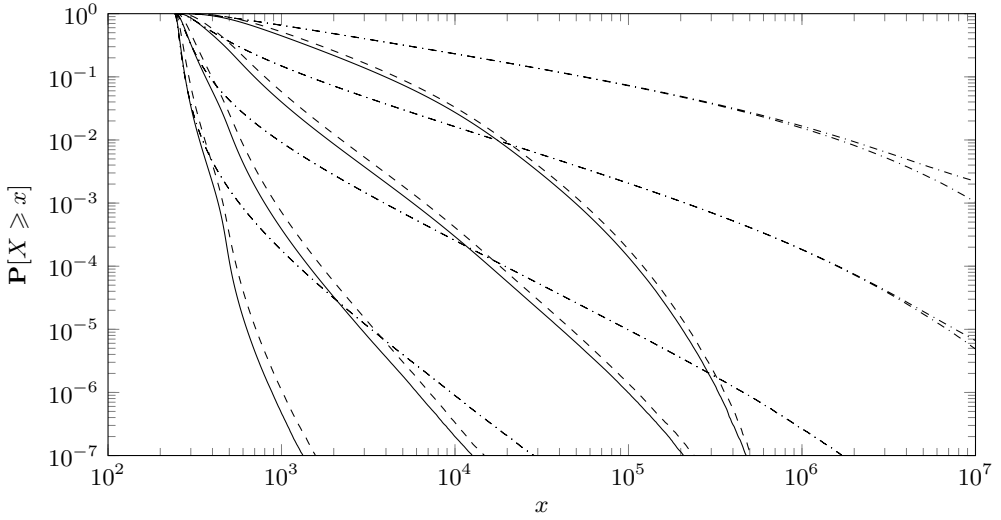


Рис. 5. Сложность декодирования,  $R = 1/3$ , сверху вниз ОСШ [дБ] = 4, 5, 6, 7:  
 - · - · - SA( $C_{1/3,19}^{\text{ОПР}}$  (границы)), - - - BSA( $C_{1/3,19}^{\text{ОПР}}$ ), — BSA( $C_{1/3,19}^{\text{ОДПР}}$ )

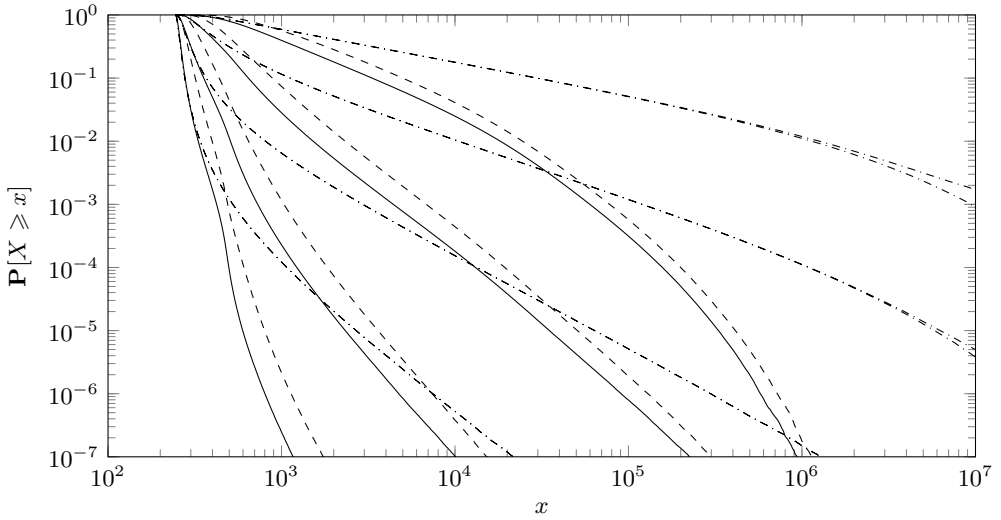


Рис. 6. Сложность декодирования,  $R = 1/4$ , сверху вниз ОСШ [дБ] = 4, 5, 6, 7:  
 - · - · - SA( $C_{1/4,21}^{\text{ОПР}}$  (границы)), - - - BSA( $C_{1/4,21}^{\text{ОПР}}$ ), — BSA( $C_{1/4,21}^{\text{ОДПР}}$ )

**4.1. Сравнение с декодированием по Витерби.** На рис. 1, 2 показаны результаты сравнения полученных при моделировании вероятностей ошибки на блок (FER) для BSA-декодирования выбранных ОДПР-кодов и декодирования по Витерби (по максимальному правдоподобию) ОСвР- и ОСпР-кодов с меньшей памятью для скоростей  $1/3$  и  $1/4$ . ОДПР-коды, которые использовались для этого сравнения, – это коды с наибольшей памятью среди найденных.

Результаты BSA-декодирования приведены для различного максимально допустимого количества узлов, вставляемых в кодовые деревья (максимального общего

Таблица 14

Среднее число промежуточных узлов,  $R = 1/3$ 

ОСШ [дБ]	SA( $C_{1/3,19}^{\text{ОПР}}$ ), н.г.	BSA( $C_{1/3,19}^{\text{ОПР}}$ )	BSA( $C_{1/3,19}^{\text{ОДПР}}$ )
4	81000	2221,87	1950,36
5	2053,29	538,329	480,53
6	328,403	319,052	300,176
7	260,336	268,519	260,128

Таблица 15

Среднее число промежуточных узлов,  $R = 1/4$ 

ОСШ [дБ]	SA( $C_{1/4,21}^{\text{ОПР}}$ ), н.г.	BSA( $C_{1/4,21}^{\text{ОПР}}$ )	BSA( $C_{1/4,21}^{\text{ОДПР}}$ )
4	61758,3	2582,11	1831,05
5	1460,96	590,712	452,307
6	316,926	347,656	298,378
7	261,146	284,164	261,333

размера дерева), и кривые FER от верхней к нижней соответствуют его возрастающим значениям. Ошибками считаются как ситуация, когда декодер достигает максимального общего размера дерева без результата (отказ от декодирования), так и ситуация, когда он выдает неправильную декодированную последовательность. Мы видим, что для обеих скоростей кода в некоторый момент эта зависимость стабилизируется, когда FER начинает определяться только свойствами кода (свободным расстоянием и спектром расстояний).

Поскольку элементарные операции, выполняемые при BSA-декодировании и декодировании по Витерби, различны, не существует однозначного способа сравнения вычислительной эффективности этих двух алгоритмов, тем более что различные оптимизации обоих алгоритмов могут существенно повлиять на их суммарную сложность по времени и памяти. Однако точки пересечения кривых FER и соответствующие максимальные размеры деревьев BSA-алгоритма могут служить грубой оценкой того, насколько BSA-декодирование выгоднее декодирования по Витерби для конкретного приложения, т.е. когда известны ожидаемое ОСШ в канале и ограничения на аппаратные и/или программные возможности декодера.

**4.2. Сравнение для последовательного декодирования.** На рис. 3, 4 показаны полученные при моделировании значения FER для следующих случаев:

- SA-декодирование ОПР-кодов,
- BSA-декодирование ОПР-кодов,
- BSA-декодирование ОДПР-кодов.

Используются те же скорости, что и в предыдущем сравнении. Во всех экспериментах коды в сравниваемых системах имеют одинаковую память. Снова в качестве изменяемого параметра берется максимальный общий размер дерева  $M$ , а ошибками считаются как отказы от декодирования, так и неверные результаты.

При  $R = 1/3$  результаты для ОДПР-кодов при различных значениях  $M$  оказываются на  $\approx 0,05 - 0,2$  дБ лучше, чем для ОПР-кодов, в то время как при  $R = 1/4$  отличие составляет  $\approx 0,2 - 0,4$  дБ. Интересно отметить, что в большинстве случаев SA-декодирование ОПР-кодов уступает BSA-декодированию ОПР- или ОДПР-кодов, кроме случаев ( $R = 1/3, M = 2^{24}$ ) и ( $R = 1/4, M = 2^{24}$ ), когда они очень близки.

На рис. 5, 6 показаны распределения величины  $X$  – числа промежуточных узлов кодового дерева (деревьев) в случае, когда декодирование выдает правильную последовательность. Когда число промежуточных узлов становится слишком боль-

шим и декодирование конкретной полученной последовательности прерывается из-за практических ограничений, мы не можем определить, является ли декодированная последовательность правильной. Поэтому в некоторых результатах для SA-декодирования приведены лишь границы на распределение  $X$ . Как для  $R = 1/3$ , так и для  $R = 1/4$  видно улучшение при использовании ОДПР-кодов. Видно также, что в большинстве случаев BSA-декодирование имеет меньшую среднюю сложность, чем SA-декодирование. Сводные данные о среднем числе промежуточных узлов приведены в табл. 14, 15, где для SA-декодирования указаны нижние границы (н.г.).

## СПИСОК ЛИТЕРАТУРЫ

1. *Johannesson R., Zigangirov K.Sh.* Fundamentals of Convolutional Coding. Piscataway, NJ: IEEE Press; Hoboken, NJ: Wiley, 2015.
2. *Зигангиров К.Ш.* Некоторые последовательные процедуры декодирования // Пробл. передачи информ. 1966. Т. 2. № 4. С. 13–25. <https://www.mathnet.ru/ppi1966>
3. *Jelinek F.* Fast Sequential Decoding Algorithm Using a Stack // IBM J. Res. Develop. 1969. V. 13. № 6. P. 675–685. <https://doi.org/10.1147/rd.136.0675>
4. *Fano R.M.* A Heuristic Discussion of Probabilistic Decoding // IEEE Trans. Inform. Theory. 1963. V. 9. № 2. P. 64–74. <https://doi.org/10.1109/TIT.1963.1057827>
5. *Chevillat P., Costello D.* An Analysis of Sequential Decoding for Specific Time-Invariant Convolutional Codes // IEEE Trans. Inform. Theory. 1978. V. 24. № 4. P. 443–451. <https://doi.org/10.1109/TIT.1978.1055916>
6. *Narayanaswamy B., Negi R., Khosla P.* An Analysis of the Computational Complexity of Sequential Decoding of Specific Tree Codes over Gaussian Channels // Proc. 2008 IEEE Int. Symp. on Information Theory (ISIT'2008). Toronto, ON, Canada. July 6–11, 2008. P. 2508–2512. <https://doi.org/10.1109/ISIT.2008.4595443>
7. *Johannesson R.* Robustly Optimal Rate One-Half Binary Convolutional Codes // IEEE Trans. Inform. Theory. 1975. V. 21. № 4. P. 464–468. <https://doi.org/10.1109/TIT.1975.1055397>
8. *Johannesson R.* Some Long Rate One-Half Binary Convolutional Codes with an Optimum Distance Profile // IEEE Trans. Inform. Theory. 1976. V. 22. № 5. P. 629–631. <https://doi.org/10.1109/TIT.1976.1055599>
9. *Johannesson R.* Some Rate 1/3 and 1/4 Binary Convolutional Codes with an Optimum Distance Profile // IEEE Trans. Inform. Theory. 1977. V. 23. № 2. P. 281–283. <https://doi.org/10.1109/TIT.1977.1055687>
10. *Hagenauer J.* High Rate Convolutional Codes with Good Distance Profiles // IEEE Trans. Inform. Theory. 1977. V. 23. № 5. P. 615–618. <https://doi.org/10.1109/TIT.1977.1055777>
11. *Johannesson R., Paaske E.* Further Results on Binary Convolutional Codes with an Optimum Distance Profile // IEEE Trans. Inform. Theory. 1978. V. 24. № 2. P. 264–268. <https://doi.org/10.1109/TIT.1978.1055850>
12. *Johannesson R., Ståhl P.* New Rate 1/2, 1/3, and 1/4 Binary Convolutional Encoders with an Optimum Distance Profile // IEEE Trans. Inform. Theory. 1999. V. 45. № 5. P. 1653–1658. <https://doi.org/10.1109/18.771238>
13. *Sone N., Mohri M., Morii M., Sasano H.* Optimal Free Distance Convolutional Codes for Rates 1/2, 1/3, and 1/4 // Electron. Lett. 1999. V. 35. № 15. P. 1240–1241. <https://doi.org/10.1049/el:19990871>
14. *Frenger P., Orten P., Ottosson T.* Convolutional Codes with Optimum Distance Spectrum // IEEE Commun. Lett. 1999. V. 3. № 11. P. 317–319. <https://doi.org/10.1109/4234.803468>
15. *Hug F.* Codes on Graphs and More: Ph.D. Thesis. Dept. of Electrical and Information Technology, Lund Univ., Lund, Sweden, 2012.
16. *Šenk V., Radivojac P.* The Bidirectional Stack Algorithm // Proc. 1997 IEEE Int. Symp. on Information Theory (ISIT'97). Ulm, Germany. June 29–July 4, 1997. P. 500. <https://doi.org/10.1109/ISIT.1997.613437>

17. *Kallel S., Li K.* Bidirectional Sequential Decoding // IEEE Trans. Inform. Theory. 1997. V. 43. № 4. P. 1319–1326. <https://doi.org/10.1109/18.605602>
18. *Bocharova I.E., Handlery M., Johannesson R., Kudryashov B.D.* BEAST Decoding of Block Codes Obtained via Convolutional Codes // IEEE Trans. Inform. Theory. 2005. V. 51. № 5. P. 1880–1891. <https://doi.org/10.1109/TIT.2005.846448>
19. *Xu R., Kocak T., Woodward G., Morris K., Dolwin C.* High Throughput Parallel Fano Decoding // IEEE Trans. Commun. 2011. V. 59. № 9. P. 2394–2405. <https://doi.org/10.1109/TCOMM.2011.062011.100236>
20. *Stanojević I., Šenk V.* Convolutional Codes with Optimum Bidirectional Distance Profile, <https://arXiv:2210.15787v4> [cs.IT], 2022.

*Станоевич Иван* (Stanojević, Ivan)  
*Шенк Войин* (Šenk, Vojin)  
Факультет технических наук,  
Университет г. Нови-Сад, Сербия  
[cet\\_ivan@uns.ac.rs](mailto:cet_ivan@uns.ac.rs)  
[vojin\\_senk@uns.ac.rs](mailto:vojin_senk@uns.ac.rs)

Поступила в редакцию  
11.11.2022  
После доработки  
05.12.2023  
Принята к публикации  
06.12.2023

УДК 621.391 : 519.725

© 2023 г. Ж. Боржес, В.А. Зиновьев<sup>1</sup>, Д.В. Зиновьев<sup>1</sup>**О ПЕРЕЧИСЛЕНИИ ПОЛНОСТЬЮ РЕГУЛЯРНЫХ КОДОВ С РАДИУСОМ ПОКРЫТИЯ ДВА И ДУАЛЬНЫМИ АНТИПОДАЛЬНЫМИ КОДАМИ<sup>2</sup>**

Классифицированы все линейные полностью регулярные коды с радиусом покрытия  $\rho = 2$ , дуальные коды которых являются антиподальными. Для этого вначале приводится ряд свойств для таких дуальных кодов, являющихся кодами с двумя расстояниями  $d$  и  $n$ .

*Ключевые слова:* линейный полностью регулярный код, код с радиусом покрытия 2, код с дуальным антиподальным, двухвесовой код, разностная матрица, латинский квадрат, проективный овал, эквидистантный код, матрица Адамара, код Хэмминга, максимальная дуга.

DOI: 10.31857/S0555292323030026, EDN: OKKXRQ

**§ 1. Введение**

Пусть  $\mathbb{F}_q$  – конечное поле порядка  $q$ , где  $q$  – степень простого числа. Произвольное подмножество  $C \subseteq \mathbb{F}_q^n$  называется  $q$ -ичным кодом и обозначается через  $(n, N, d)_q$ , где  $n$  – длина кода,  $N$  – число его кодовых слов (или *мощность*), а  $d$  – его *минимальное расстояние* (Хэмминга). Код  $C$  длины  $n$  с минимальным расстоянием  $d$ , являющийся линейным пространством размерности  $k$  над  $\mathbb{F}_q$  (т.е. имеющий мощность  $q^k$ ), обозначается через  $[n, k, d]_q$ .

Назовем *радиусом упаковки* кода  $C$  величину  $e = \lfloor (d-1)/2 \rfloor$ . Для произвольного вектора  $\mathbf{v} \in \mathbb{F}_q^n$  определим его *расстояние до кода*  $C$  как

$$d(\mathbf{v}, C) = \min_{\mathbf{x} \in C} \{d(\mathbf{v}, \mathbf{x})\},$$

где  $d(\mathbf{v}, \mathbf{x})$  обозначает расстояние между векторами  $\mathbf{v}$  и  $\mathbf{x}$ . Определим *радиус покрытия* кода  $C$  как

$$\rho = \max_{\mathbf{v} \in \mathbb{F}_q^n} \{d(\mathbf{v}, C)\}.$$

Заметим, что  $e \leq \rho$ .

В данной статье мы будем рассматривать исключительно *нетривиальные* линейные коды  $[n, k, d]_q$ , в частности, размерности  $2 \leq k \leq n - 2$  с минимальным расстоянием  $3 \leq d \leq n - 1$ .

<sup>1</sup> Исследования второго и третьего авторов были выполнены в ИППИ им. А.А. Харкевича РАН в рамках проводимых фундаментальных исследований по теме “Математические теории корректирующих кодов”, а также поддержаны грантом Национального научного фонда Болгарии (номер проекта 20-51-18002).

<sup>2</sup> Работа выполнена при частичной поддержке Министерства науки Испании, номера грантов PID2022-137924NB-I00 (AEI/FEDER UE) и RED2022-134306-T, а также программы AGAUR правительства Каталонии, номер гранта 2021-SGR-00643.

Для заданного кода  $C$  длины  $n$  и радиуса покрытия  $\rho$  определим множества

$$C(i) = \{\mathbf{x} \in \mathbb{F}_q^n : d(\mathbf{x}, C) = i\}, \quad i = 0, 1, \dots, \rho.$$

Два вектора  $\mathbf{x}$  и  $\mathbf{y}$  назовем *соседями*, если  $d(\mathbf{x}, \mathbf{y}) = 1$ .

**Определение 1 [1].** Назовем код  $C$  длины  $n$  с радиусом покрытия  $\rho$  *полностью регулярным* (сокращенно – ПР-кодом), если для произвольного  $\ell \geq 0$  все векторы  $\mathbf{x} \in C(\ell)$  имеют одинаковое число  $c_\ell$  соседей из  $C(\ell - 1)$  и одинаковое число  $b_\ell$  соседей из  $C(\ell + 1)$ . Пусть

$$a_\ell = (q - 1)n - b_\ell - c_\ell,$$

и положим  $c_0 = b_\rho = 0$ . Числа  $a_i$ ,  $b_i$  и  $c_i$  ( $0 \leq i \leq \rho$ ) будем называть *числами пересечения*, а последовательность  $(b_0, \dots, b_{\rho-1}; c_1, \dots, c_\rho)$  назовем *вектором пересечений* (сокращенно – IA) кода  $C$ .

Следующий класс равномерно упакованных в широком смысле кодов является более общим (в частности, содержит все ПР-коды).

**Определение 2 [2].** Пусть  $C$  – код длины  $n$  с радиусом покрытия  $\rho$ . Будем называть код  $C$  *равномерно упакованным в широком смысле*, т.е. в смысле [2], если существуют рациональные числа  $\beta_0, \dots, \beta_\rho$ , такие что для произвольного  $\mathbf{v} \in \mathbb{F}_q^n$  имеет место следующее равенство:

$$\sum_{k=0}^{\rho} \beta_k \alpha_k(\mathbf{v}) = 1, \tag{1}$$

где  $\alpha_k(\mathbf{v})$  – число кодовых слов на расстоянии  $k$  от  $\mathbf{v}$ .

Заметим, что случай  $\rho = e + 1$  и  $\beta_{\rho-1} = \beta_\rho$  соответствует *равномерно упакованным в узком смысле* кодам [3], случай  $\rho = e + 1$  и  $\beta_{\rho-1} \neq \beta_\rho$  – *равномерно упакованным* кодам [4], а случай  $\rho = e$  и  $\beta_i = 1$  для всех  $i = 0, 1, \dots, e$  – *совершенным* кодам.

ПР-коды представляют собой классический объект изучения алгебраической теории кодирования, тесно связанный с теорией графов, комбинаторными конфигурациями и алгебраической комбинаторикой. Существование, построение и перечисление таких кодов – сложные нерешенные задачи (см., например, работы [1, 5–8] и библиографию в них).

Все ПР-коды с радиусом покрытия  $\rho = 1$  хорошо известны [9, 10]. Следующий случай, т.е. ПР-коды с  $\rho = 2$ , представляется авторам исключительно сложным (имеется в виду ситуация с перечислением двухвесовых кодов). В настоящей статье описывается специальный класс таких кодов, а именно такие линейные полностью регулярные коды, дуальные коды которых антиподальны, т.е. являются  $[n, k, d]_q$ -кодами со следующим свойством: для любых двух кодовых слов  $\mathbf{x}$  и  $\mathbf{y}$  расстояние  $d(\mathbf{x}, \mathbf{y})$  равно одному из двух значений  $d$  или  $n$ . В общем случае  $(n, N, \{d_1, d_2\})_q$ -код  $C$  – это код длины  $n$  с  $N$  элементами и расстоянием между произвольными двумя кодовыми словами  $\mathbf{x}$  и  $\mathbf{y}$ , удовлетворяющим условию  $d(\mathbf{x}, \mathbf{y}) \in \{d_1, d_2\}$ . Поскольку мы рассматриваем только дистанционно-инвариантные коды, все слова такого кода имеют вес  $d_1$  или  $d_2$ . Назовем такой код *двухвесовым* кодом. Если  $C$  – линейный код, будем обозначать его через  $[n, k, \{d_1, d_2\}]_q$ , где  $k$  – размерность кода  $C$ .

Наша классификация основана на описании аддитивных  $(n, N, \{d, n\})_q$ -кодов (т.е. таких, которые являются аддитивными подгруппами  $\mathbb{F}_q^n$ ), данным в [11].

Статья организована следующим образом. В § 2 приводятся некоторые свойства и определения. В § 3 изучаются некоторые комбинаторные свойства двухвесовых кодов и выводятся необходимые условия существования таких кодов. В § 4 перечисляются известные семейства линейных полностью регулярных кодов с радиусом

покрытия 2 с дуальными антиподальными кодами. Наконец, в § 5 приводится основная теорема данной статьи, показывающая, что перечисленные в § 4 коды исчерпывают все линейные ПР-коды с радиусом покрытия 2 с дуальными антиподальными кодами.

## § 2. Предварительные сведения

В данном параграфе мы напомним некоторые результаты, которые понадобятся нам в дальнейшем.

Для  $[n, k, d]$ -кода  $C$  обозначим через  $(\eta_0^\perp, \dots, \eta_n^\perp)$  весовой спектр его дуального  $[n, n-k, d^\perp]$ -кода  $C^\perp$ . Предположим, что  $(\eta_0^\perp, \dots, \eta_n^\perp)$  имеет  $s = s(C)$  ненулевых компонент  $\eta_i^\perp$  для  $1 \leq i \leq n$ . Следуя Дельсарту [12], назовем  $s$  *внешним расстоянием* кода  $C$ .

**Лемма 1.** Пусть  $C$  – код с радиусом покрытия  $\rho$  и внешним расстоянием  $s$ . Тогда:

- (i)  $\rho \leq s$  [12];
- (ii)  $\rho = s$ , если и только если  $C$  равномерно упакован в широком смысле [13];
- (iii) Если  $C$  полностью регулярен, то он равномерно упакован в широком смысле [6].

Из этой леммы следует, что если  $C$  – полностью регулярный  $[n, k, d]_q$ -код с радиусом покрытия  $\rho = 2$ , то его дуальный код  $C^\perp$  является (двухвесовым)  $[n, n-k, \{d_1, d_2\}]_q$ -кодом. Более того, если  $C^\perp$  антиподален, то он является  $[n, n-k, \{d^\perp, n\}]_q$ -кодом (где  $d^\perp$  – минимальное расстояние кода  $C^\perp$ ). Именно этот класс полностью регулярных кодов изучается в настоящей статье.

**Определение 3.** Пусть  $G$  – абелева группа порядка  $q$  с операцией сложения. Квадратная матрица  $D$  порядка  $qm$  с элементами из  $G$  называется *разностной матрицей* и обозначается через  $D(q, \mu)$ , если покомпонентная разность произвольных двух различных строк  $D$  содержит каждый элемент из  $G$  ровно  $\mu$  раз.

Ясно, что матрица  $D$  сохраняет свое свойство при прибавлении строки вида  $(a, a, \dots, a)$ , где  $a \in G$ , к каждой строке  $D$  или к каждому столбцу. Применяя последовательно обе эти операции, получим *нормализованную* разностную матрицу, у которой первая строка и первый столбец состоят из нулей.

Из [14] получаем следующий результат.

**Лемма 2.** Для любого  $q$ , являющегося степенью простого числа, и любых натуральных чисел  $\ell$  и  $h$  существует разностная матрица  $D(q^\ell, q^h)$ .

Напомним кратко конструкцию всех таких разностных матриц  $D(q^\ell, q^h)$ , см. [14]. Для произвольных натуральных чисел  $\ell$  и  $h$  положим  $u = \ell + h$ . Для поля Галуа  $\mathbb{F}_{q^u}$  с элементами  $\{f_0 = 0, f_1 = 1, f_2, \dots, f_{q^u-1}\}$  обозначим через  $F = [f_{i,j}]$  матрицу размера  $q^u \times q^u$ , строки и столбцы которой пронумерованы элементами поля  $\mathbb{F}_{q^u}$ , где  $f_{i,j} = f_i f_j$ , т.е.  $F$  представляет собой таблицу умножения для элементов поля  $\mathbb{F}_{q^u}$ . Для произвольного натурального числа  $m$  будем представлять элементы из  $\mathbb{F}_{q^m}$  векторами линейного пространства  $\mathbb{F}_q^m$ , и наоборот. Определим оператор  $\Phi = \Phi_{u \rightarrow \ell}$ , отображающий элемент  $x = (x_1, \dots, x_u)$  пространства  $\mathbb{F}_q^u$  в элемент  $x^{(\ell)} = (x_1, \dots, x_\ell)$  пространства  $\mathbb{F}_q^\ell$ , стирая последние справа  $u - \ell$  координат векторов из  $\mathbb{F}_q^u$ :

$$\Phi(x_1, \dots, x_\ell, \dots, x_u) = (x_1, \dots, x_\ell).$$

Обозначим через  $F^{[\ell]}$  матрицу, полученную из  $F$  под действием оператора  $\Phi$ , примененного к каждому элементу матрицы  $F$ :

$$F^{[\ell]} = \left[ f_{i,j}^{[\ell]} \right], \quad f_{i,j}^{[\ell]} = \Phi_{u \rightarrow \ell}(f_{i,j}).$$

Лемма 3. Для произвольного  $q$ , являющегося степенью простого числа, и произвольных натуральных чисел  $\ell$  и  $h$  матрица  $F^{[\ell]}$  является аддитивной разностной матрицей  $D(q^\ell, q^h)$ . Если  $\ell$  делит  $h$ , т.е.  $N = q^{h/\ell+1}$ , то множество строк матрицы  $D$  образует линейное пространство.

Рассмотрим теперь построение  $(n, N, \{d, n\})_q$ -кодов из разностных матриц. Без ограничения общности будем писать  $G = \{0, 1, \dots, q-1\}$ , хотя операции над этими элементами выполняются как операции в группе  $G$ . Предположим, что первая строка матрицы  $D = D(q, \mu)$  нулевая. Обозначим через  $D^{(g)}$  матрицу, полученную из  $D$  прибавлением  $g \in G$  к каждому элементу  $D$ , а именно если  $D = [d_{i,j}]$ , то  $D^{(g)} = [d_{i,j} + g]$  для всех  $i$  и  $j$  (сумма берется в  $G$ ). По определению матрицы  $D$  матрица  $D^{(g)}$  является разностной матрицей  $D(q, \mu)$ . Кроме того, для любых двух строк  $\mathbf{r}$  из  $D$  и  $\mathbf{r}^{(g)}$  из  $D^{(g)}$  выполняется следующее условие [14]:

$$d(\mathbf{r}, \mathbf{r}^{(g)}) = \begin{cases} q\mu, & \text{если } \mathbf{r}^{(g)} = \mathbf{r} + (g, g, \dots, g), \\ (q-1)\mu, & \text{если } \mathbf{r}^{(g)} \neq \mathbf{r} + (g, g, \dots, g). \end{cases} \quad (2)$$

Ясно, что матрица  $D(q, \mu)$  порождает эквидистантный  $(q\mu - 1, q\mu, \mu(q-1))_q$ -код, являющийся оптимальным относительно верхней границы Плоткина

$$N \leq \frac{qd}{qd - (q-1)n}, \quad (3)$$

которая справедлива при условии, что знаменатель положителен. Чтобы показать это, достаточно привести матрицу  $D$  к виду с нулевым первым столбцом, а затем его стереть.

Пусть  $A^t$  обозначает транспонирование матрицы  $A$ . Из условия (2) получаем следующее утверждение.

Лемма 4 [14]. Строки  $(N \times n)$ -матрицы  $[D^{(0)} \mid \dots \mid D^{(q-1)}]^t$  образуют двух-весовой  $(n, N, \{d, n\})_q$ -код с параметрами

$$n = q\mu, \quad N = q^2\mu, \quad d = \mu(q-1). \quad (4)$$

Код  $C$ , построенный из разностной матрицы  $D$ , назовем *разностно-матричным кодом*, или сокращенно *DM-кодом*. Произвольный  $(n, N, \{d, n\})_q$ -код с параметрами, удовлетворяющими (4), назовем *псевдоразностно-матричным кодом*, или сокращенно *PDM-кодом*. Далее в статье мы покажем, что аддитивный PDM-код является DM-кодом. Такие коды являются оптимальными относительно  $q$ -ичного аналога границы Грэя–Рэнкина [15]. Произвольный  $q$ -ичный  $(n, N, \{d, n\})_q$ -код, который можно разбить на тривиальные  $(n, q, n)_q$ -подкоды (которые понадобятся нам позже), удовлетворяет неравенству

$$\frac{N}{q} \leq \frac{q(qd - (q-2)n)(n-d)}{n - ((q-1)n - qd)^2} \quad (5)$$

при условии, что  $n - ((q-1)n - qd)^2 > 0$ .

Напомним также оценку на мощность  $N$  кода  $C$  при условии ограничения сверху на максимальное расстояние (обозначим его через  $D$ ) между различными кодовыми словами (см. [16]). Для случая  $D = n$  эта оценка принимает следующий вид:

$$N \leq \frac{q^2d}{dq - (q-1)(n-1)} \quad (6)$$

при условии, что знаменатель положителен.

Напомним, что  $q$ -ичная матрица  $M$  размера  $N \times n$  называется ортогональной таблицей силы  $t$ , индекса  $\lambda = N/q^t$  и длины  $n$  (и обозначается через  $OA(N, n, q, t)$ ), если каждая ее  $(N \times t)$ -подматрица содержит среди своих строк каждый  $q$ -ичный вектор длины  $t$  ровно  $\lambda$  раз (см. [17]).

### § 3. Необходимые условия

Как мы уже упоминали, код  $C^\perp$ , дуальный к линейному  $[n, k, d]_q$ -ПП-коду  $C$  с радиусом покрытия  $\rho = 2$ , является линейным  $[n, k^\perp = n - k, d^\perp]_q$ -кодом со следующим свойством: для произвольного кодового слова  $c \in C^\perp$  его вес (Хэмминга) имеет два возможных значения  $\text{wt}(c) \in \{w_1, w_2\}$ , где  $w_1 = d^\perp$ . Известно [6], что если код  $C$  полностью регулярен, то его внешнее расстояние  $s$  (число ненулевых весов кода  $C^\perp$ ) равно радиусу покрытия кода  $C$  (см. лемму 1).

В данной статье мы рассматриваем случай  $w_2 = n$ , т.е. код  $C^\perp$  антиподален. Таким образом, для того чтобы классифицировать линейные ПП-коды с  $\rho = 2$ , дуальные коды которых антиподальны, необходимо перечислить все коды с двумя весами  $d$  и  $n$ , т.е. все  $[n, k, \{d, n\}]_q$ -коды. Такая классификация дана в работе [11]. Естественный вопрос о существовании  $q$ -ичного двухвесового  $(n, N, \{d, n\})_q$ -кода — это при каких условиях такой код существует. В работе [11] получен ответ на этот вопрос, и в настоящей статье мы ограничиваемся рассмотрением таких линейных кодов.

Через  $\text{PG}(n, q)$  обозначим  $n$ -мерное проективное пространство над полем  $\mathbb{F}_q$ . Под  $m$ -дугой будем подразумевать множество  $M$ , состоящее из  $m$  точек пространства  $\text{PG}(n, q)$ ,  $m \geq n + 1$  и  $n \geq 2$ , таких что никакие  $n + 1$  точки из  $M$  не принадлежат гиперплоскости в  $\text{PG}(n, q)$ . При этом  $(q + 1)$ -дуга пространства  $\text{PG}(2, q)$  называется *овалом*, а  $(q + 2)$ -дуга пространства  $\text{PG}(2, q)$ , где  $q$  четное, называется *полным овалом*, или *гиперовалом* (см., например, [18, 19]).

Линейный код  $C$  назовем *проективным*, если его дуальный код  $C^\perp$  имеет минимальное расстояние  $d^\perp \geq 3$  (когда любая порождающая матрица кода  $C$  не содержит двух пропорциональных столбцов, т.е. отличающихся друг от друга на скалярный множитель).

Пусть  $C$  — проективный  $[n, k, d]_q$ -код с ненулевыми весами  $w_1, w_2, \dots, w_s$  и порождающей матрицей  $G$ . Следуя [20], для  $\alpha \neq 0$  и  $\beta$ , таких что для всех  $i$  сумма  $\alpha w_i + \beta$  — неотрицательное целое число, определим дуальное преобразование, скажем,  $C^*$  кода  $C$  следующим образом. Рассмотрим все ненулевые векторы  $v \in \mathbb{F}_q^k$ , которым соответствуют различные точки в  $\text{PG}(k - 1, q)$ . Построим матрицу  $G^*$  таким образом, что в качестве столбцов она содержит все векторы  $v$ , взятые  $\alpha(vG) + \beta$  раз. Такая матрица  $G^*$  является порождающей матрицей двухвесового кода  $C_{\alpha, \beta}^*$ , который мы назовем *проективно дуальным* кодом для  $C$ . Следовательно, любой двухвесовой код всегда имеет проективно дуальный код.

Напомним результаты работы [21]. Положим  $n_m = (q^m - 1)/(q - 1)$ . Для заданного  $[n, k, d]_q$ -кода  $C$  с проверочной матрицей  $H$  определим *дополнительный*  $[n_{n-k} - n, k, d_c]_q$ -код  $C_c$  с проверочной матрицей  $H_c$ , полученной из проверочной матрицы  $H_{n-k}$  кода Хэмминга длины  $n_{n-k}$  стиранием всех столбцов матрицы  $H$  и скалярно кратных им. Напомним важное свойство дополнительных кодов: *произвольному кодовому слову веса  $w$  из  $[n, k, d]_q$ -кода  $C$  соответствует слово веса  $w_c = q^{n-k-1} - w$  дополнительного кода  $C_c$* . Из этого факта вытекает следующее утверждение.

*Лемма 5 [21]. Линейный  $[n, k, d]_q$ -код  $C$  с радиусом покрытия  $\rho = 2$ , не являющийся дуальным разностно-матричного кода, существует одновременно со своим дополнительным проективным кодом  $C_c$  с таким же радиусом покрытия  $\rho_c = 2$ .*

Этот хорошо известный результат был обобщен в работе [22] на произвольные двухвесовые  $[n, k, \{d, d + \delta\}]_q$ -коды. Приведем вариант такого утверждения для случая  $[n, k, \{d, n\}]_q$ -кодов. Отметим, что оно определенным образом связано с понятиями антикодов [23] и миниподпространств (minihypers) (см. [24]).

**Лемма 6** [22]. Пусть  $C$  – линейный  $q$ -ичный нетривиальный двухвесовой  $[n, k, \{d, n\}]_q$ -код, не являющийся дуальным  $k$   $s$ -кратному повторению разностно-матричного кода, и пусть  $\mu_1$  и  $\mu_2$  – число кодовых слов веса, соответственно,  $d$  и  $n$ . Тогда существует линейный дополнительный двухвесовой  $[n_c, k, \{d_c, d_c + \delta\}]_q$ -код  $C_c$ , где

$$n + n_c = s \frac{q^k - 1}{q - 1}, \quad d + d_c + \delta = sq^{k-1}, \quad n = d + \delta, \quad s = 1, 2, \dots,$$

такой что  $C_c$  содержит  $\mu_1$  кодовых слов веса  $d_c + \delta$ ,  $\mu_2$  слов веса  $d_c$  и имеет минимально возможную длину  $n_c$ , при которой матрица  $[[C] | [C_c]]$  представляет собой эквидистантный  $[s(q^k - 1)/(q - 1), k, sq^{k-1}]_q$ -код.

Заметим, что целое число  $s$  в лемме 6 равно максимальному размеру набора столбцов порождающей матрицы кода  $C$ , скалярно кратных одному столбцу. Для проективных двухвесовых  $[n, k, \{w, n\}]_q$ -кодов (т.е. для случая  $s = 1$ ) имеет место следующий результат.

**Лемма 7** [25]. Пусть  $C$  – проективный двухвесовой  $[n, k, \{w, n\}]_q$ -код над  $\mathbb{F}_q$ , где  $q = p^m$ ,  $p$  – простое. Тогда существуют два целых числа  $u \geq 0$  и  $h \geq 1$ , такие что

$$w = hp^u, \quad n = (h + 1)p^u.$$

Для проективного случая мы напомним следующий результат, напрямую вытекающий из соотношений Мак-Вильямс, принимая во внимание, что минимальное расстояние  $d^\perp$  дуального кода  $C^\perp$  ограничено снизу:  $d^\perp \geq 3$  (см. [25]).

**Лемма 8.** Пусть  $C$  – проективный двухвесовой  $[n, k, \{w, n\}]_q$ -код над  $\mathbb{F}_q$ , где  $q = p^m$ ,  $p$  – простое. Обозначим через  $\mu_1$  число кодовых слов кода  $C$  веса  $w$ , а через  $\mu_2$  – число кодовых слов веса  $n$ . Тогда

$$\begin{cases} w\mu_1 + n\mu_2 = n(q - 1)q^{k-1}, \\ w^2\mu_1 + n^2\mu_2 = n(q - 1)(n(q - 1) + 1)q^{k-2}. \end{cases} \quad (7)$$

В работе [22] (см. также [26] для случая  $n - d = 1$ ) были получены условия целочисленности, аналогичные условиям, найденным Дельсартом для проективных двухвесовых кодов в [25] (см. также [27]). Эти соотношения получаются простыми комбинаторными рассуждениями без привлечения понятия собственных значений сильно регулярных графов. Для случая произвольного двухвесового  $(n, N, \{d, n\})_q$ -кода с расстояниями  $d$  и  $n$  такие условия были выведены в работе [11].

**Теорема 1.** Пусть  $C$  – нетривиальный  $q$ -ичный двухвесовой  $(n, k, \{d, n\})_q$ -код. Тогда:

(i) Код  $C$  имеет мощность  $N = q^k$ , при этом

$$\max\{(q - 1)n + 1, q^2\} \leq N \leq \frac{q^2 d}{qd - (q - 1)(n - 1)}; \quad (8)$$

(ii) Правое неравенство в (8) превращается в равенство тогда и только тогда, когда матрица  $[C]$  кодовых слов кода  $C$  является ортогональной таблицей силы  $t \geq 2$ ;

- (iii) В случае, когда правое неравенство в (8) превращается в равенство, длина  $n$  и расстояние  $d$  кода  $C$  имеют следующий вид:

$$n = \frac{N(q(d+1) - 1) - q^2 d}{N(q-1)} \quad (9)$$

и

$$d = (n-1) \frac{(q-1)N}{q(N-q)}; \quad (10)$$

- (iv) Левое неравенство в (8) превращается в равенство тогда и только тогда, когда либо код  $C$  с параметрами  $(n, q^2, \{n-1, n\})_q$  получен из  $n-2$  взаимно ортогональных латинских квадратов порядка  $q$ , где  $n \leq q$ , либо  $C$  является эквидистантным  $(n, N, d)_q$ -кодом (это случай, который мы не рассматриваем);
- (v) Если  $C$  – нетривиальный двухвесовой  $(n, q^2, \{d, n\})_q$ -код, то число  $N$  делит  $q^2 d$ , а число  $q-1$  делит  $(N-1)d$ .

Следующее утверждение является вариантом теоремы 2 из [22] для случая нетривиального  $[n, k, \{d, n\}]_q$ -кода (и поэтому не требует доказательства). Предположим, что  $q = p^m$ , где  $m \geq 1$ ,  $p$  – простое. Для произвольного натурального числа  $a$  обозначим через  $\gamma_a \geq 0$  максимальное число, такое что  $p^{\gamma_a}$  делит  $a$ , т.е.  $a = p^{\gamma_a} h$ , где  $h$  и  $p$  взаимно просты. Определим  $\gamma_d, \gamma_\delta$  и  $\gamma_c$  аналогичным образом для чисел, соответственно,  $d, \delta$  и  $d_c$ . Напомним, что  $(a, b)$  обозначает наибольший общий делитель (НОД) двух целых чисел  $a$  и  $b$ .

**Теорема 2.** Пусть  $q = p^m$ , где  $m \geq 1$ ,  $p$  – простое. Пусть  $C$  – линейный  $q$ -ичный (двухвесовой)  $[n, k, \{d, n\}]_q$ -код размерности  $k \geq 2$ , и обозначим через  $C_c$  его двухвесовой дополнительный  $[n_c, k, \{d_c, d_c + \delta\}]_q$ -код, где

$$d + \delta = n \quad \text{и} \quad d + d_c + \delta = sq^{k-1}, \quad s \geq 1.$$

- (i) Если  $s = 1$  и  $k \geq 4$ , т.е.  $C$ , а значит, и  $C_c$  – проективные коды, то выполнены следующие два равенства:

$$(q, d) = (q, \delta) \quad \text{и} \quad (q, d_c) = (q, \delta); \quad (11)$$

- (ii) Если  $s = 1$  и  $k = 3$ , то оба равенства в (11) выполняются, если выполнено хотя бы одно из двух условий:

$$(d, q)^2 \leq q(n(n-1), q) \quad \text{или} \quad (d + \delta, q)^2 > q(n_c(n_c - 1), q);$$

- (iii) Если  $s = 1$  и  $k \geq 2$ , то тогда выполняется хотя бы одно из двух условий:

$$\gamma_d = \gamma_\delta \quad \text{или} \quad \gamma_c = \gamma_\delta; \quad (12)$$

- (iv) Если  $s \geq 1$  и  $k \geq 3$ , то выполняется хотя бы одно из двух равенств в (11) (соответственно, в (12)).

#### § 4. Известные полностью регулярные коды с радиусом покрытия $\rho = 2$

Перечислим теперь все нетривиальные линейные  $[n, k, \{d, n\}]_q$ -коды. Это даст классификацию линейных ПР-кодов с  $\rho = 2$ , у которых дуальные коды антиподальны. Большая часть этих двухвесовых кодов содержится в обзоре двухвесовых кодов Кальдербэнка и Кантора [27], и все они приведены в [10].

Начнем с одного утверждения, являющегося переформулировкой результата из работы [10].

**Теорема 3.** Пусть задан нетривиальный линейный  $[n, k, d]_q$ -код  $C$ . Пусть  $G$  – его порождающая матрица. Тогда  $C$  является  $[n, k, \{d, n\}]_q$ -кодом, если и только если матрица  $G$  с точностью до эквивалентности имеет вид

$$G = \begin{bmatrix} 1 & \cdots & 1 \\ & G^* & \end{bmatrix},$$

где матрица  $G^*$  порождает эквидистантный код  $C^*$  со следующим свойством: для произвольного ненулевого кодового слова  $v \in C^*$  каждый символ  $\alpha \in \mathbb{F}_q$ , встречающийся на координатной позиции слова  $v$ , встречается там ровно  $n - d$  раз, где  $d$  – минимальное расстояние кода  $C^*$ .

Следуя работе [15], будем называть тривиальный  $(n, q, n)_q$ -код *симплексом*. Будем говорить, что  $q$ -ичный дистанционно-инвариантный код длины  $n$  является *симплексным кодом*, если он содержит симплекс в качестве подкода. Ясно, что аддитивный  $(n, N, \{d, n\})_q$ -код является дистанционно-инвариантным симплексным кодом. Следующий результат можно найти в работе [15].

**Предложение.** Пусть мощность  $q$ -ичного кода  $C$  длины  $n$  с расстоянием  $d = \frac{(q-1)n}{q}$  равна  $qn$ . Тогда код  $C$  можно представить в виде объединения попарно непересекающихся симплексных кодов.

Возникает естественный вопрос: при каких условиях симплексный код из этого предложения является либо PDM-, либо DM-кодом? Частичный ответ дает следующая

**Теорема 4** [9]. Пусть  $C$  является дистанционно-инвариантным симплексным  $(n, N, \{d, n\})_q$ -кодом. Тогда:

(i) Код  $C$  можно разбить на попарно непересекающиеся подкоды:

$$C = \bigcup_{i=1}^{N/q} C_i,$$

где для каждого  $i$  подкод  $C_i$  – это симплекс, и при этом  $N$  кратно  $q$ ;

(ii) Для произвольного кодового слова  $c \in C$ , отличного от  $(a, a, \dots, a)$ ,  $a \in \mathbb{F}_q$ , каждый символ  $\alpha \in \mathbb{F}_q$ , встречающийся среди координат слова  $c$ , встречается в этом кодовом слове ровно  $\mu$  раз, где  $\mu = n - d$ , а  $n$  кратно числу  $\mu$ ;

(iii) Расстояние  $d$  кода  $C$  удовлетворяет следующему неравенству:

$$d \leq n \frac{q-1}{q}; \tag{13}$$

(iv) Если (13) является строгим неравенством, а  $N = qn$ , то код  $C$  является псевдоразностно-матричным кодом с параметрами

$$n = \mu q, \quad N = \mu q^2, \quad d = \mu(q-1), \quad \mu = n - d;$$

(v) Если в пункте (iv) код  $C$  аддитивен, то он является разностно-матричным кодом.

**Замечание 1.** Покажем, что условия  $n = q(n-d)$  в  $N = qn$  для пунктов (iv) и (v) являются необходимыми. Рассмотрим матрицу  $[C] = [D^{(0)} \mid \dots \mid D^{(q-1)}]^t$ , образованную сдвигами  $D^{(i)}$  разностной матрицы  $D = D(q, \mu)$ , где  $C$  –  $(n, N, \{d, n\})_q$ -DM-код. Если удалить одну (или более) таких матриц  $D^{(i)}$  из матрицы кодовых слов  $[C]$ , то мы получим дистанционно-инвариантный симплексный код мощности  $N^* < qn$ , т.е. нелинейный двухвесовой  $(n, N^*, \{d, n\})_q$ -код, удовлетворяющий условиям теоремы.

Аналогично необходимым является условие  $N = qn$  в пунктах (iv) и (v). Например, линейные коды Буша (см. далее) имеют длину  $n < q(n - d)$ . Аналогичным образом, аддитивный  $(n, N, \{d, n\})_q$ -код не обязательно имеет мощность  $q^k$ . Например, разностная матрица  $D(4, 2)$  индуцирует оптимальный аддитивный  $(8, 32, \{6, 8\})_4$ -код мощности  $N \neq 4^k$ .

*Замечание 2.* Случай кодов с  $N = q^2$  является особым. Как известно,  $r - 2$  попарно ортогональных латинских квадратов порядка  $q$  индуцируют  $(r, q^2, \{r - 1, r\})_q$ -код. Для случая, когда  $q$  является степенью простого числа, существует  $q - 1$  попарно ортогональных латинских квадратов, порождающих линейный эквидистантный  $[q + 1, 2, q]_q$ -код (обратное хорошо известное утверждение также справедливо для произвольной длины  $r \leq q + 1$ ). Используя эти коды с соответствующими длинами  $r$ , очевидным образом можно построить (пользуясь разбиением на симплексные коды)  $(n, 2, \{d, n\})_q$ -коды для произвольных натуральных  $d$  и  $n$  с единственным условием, что  $d \geq n/2$ , которое гарантируется границей Плоткина (3). Эти тривиальные коды мы не рассматриваем.

Приведем теперь все известные семейства линейных нетривиальных  $[n, k, d]_q$ -ПП-кодов, перечисленные в работе [10]:

**(ПР.1)** *Расширенные двоичные совершенные коды Хэмминга.* Это коды с параметрами  $[n = 2^m, k = n - m - 1, 4]$ , наиболее известные двоичные разностно-матричные коды, дуальные к линейным  $[2^m, m + 1, 2^{m-1}]$ -кодам Адамара. Проверочная матрица  $H_m$  для таких кодов имеет размер  $(m + 1) \times 2^m$ , где  $m$  строчек матрицы  $H_m$  образованы всеми  $2^m$  различными двоичными векторами длины  $m$  в качестве столбцов, а  $(m + 1)$ -й строкой является вектор из всех единиц  $\mathbf{1} = (1, 1, 1, \dots, 1)$ . Для этого случая дуальным к коду Адамара является расширенный двоичный совершенный код Хэмминга. Вектор пересечений для этих кодов имеет вид  $\text{IA} = (n, n - 1; 1, n)$ .

**(ПР.2)** *Дуальный к разностно-матричному коду.* Таковыми являются коды с параметрами  $[n = q^m, n - m - 1, 3]_q$ , имеющие радиус покрытия 2, дуальные к разностно-матричным кодам, индуцированными разностными матрицами. Широкий класс таких матриц и соответствующих аддитивных и линейных ДМ-кодов с параметрами (4) даны в [14] (см. лемму 2), для значений

$$q = p^{mh}, \quad \mu = p^{m\ell}, \quad p - \text{простое}, \quad m = 1, 2, 3, \dots,$$

для любых натуральных чисел  $h$  и  $\ell$ . Лемма 2 приводит пример простой конструкции всех таких кодов, а теорема 4 дает их описание. Вектор пересечений для этих кодов имеет вид

$$\text{IA} = (n(q - 1), n - 1; 1, n(q - 1)).$$

**(ПР.3)** *Дуальные к кодам латинских квадратов,* являющиеся также МДР-кодами. Это известные  $[n, n - 2, 3]_q$ -коды, индуцированные  $n - 2$  взаимно ортогональными латинскими квадратами порядка  $q$ . В теореме 1 такие  $[n, 2, \{n - 1, n\}]_q$ -коды, образованные латинскими квадратами, имеют длину  $n$  и кодовое расстояние  $d = n - 1$ , откуда следует мощность  $N = q^2$ . Поскольку  $q$  – степень простого числа, линейный  $[n, 2, \{n - 1, n\}]_q$ -код по латинским квадратам  $C_l$  имеет произвольную длину  $n$  в диапазоне  $2 \leq n \leq q$  и порождается матрицей

$$G_l = \begin{bmatrix} 1 & 1 & 1 & 1 & \dots & 1 \\ 0 & 1 & a_2 & a_3 & \dots & a_{n-1} \end{bmatrix},$$

где  $a_0 = 0$ ,  $a_1 = 1$ , а  $a_2, \dots, a_{n-1}$  – различные элементы поля  $\mathbb{F}_q$ . Вектор пересечений для этих кодов имеет вид

$$\text{IA} = (n(q - 1), (q - n + 1)(n - 1); 1, n(n - 1)).$$

**(ПР.4)** *Дуальный код к кодам Буша*, или расширенный код Хэмминга длины  $q + 1$  (в [11] эти коды назывались кодами Боуза – Буша, но на самом деле эти коды должны именоваться кодами Буша). Это семейство  $[q + 2, q - 1, 4]_q$ -кодов, дуальные коды которых были построены Бушем [28] в 1952 году (в терминах ортогональных таблиц индекса 1) и которые существуют для произвольного  $q = 2^m \geq 4$  (семейство TF1 в [27]). В теореме 1 коды Буша соответствуют случаю расстояния  $d = n - 2$ , откуда следует мощность  $N = q^3$ . Они являются классическим объектом проективной геометрии, поскольку такие коды индуцированы гиперплоскостями в пространстве  $PG(3, q)$ . Дуальные  $[q + 2, q - 1, 4]_q$ -коды представляют собой расширенные  $q$ -ичные (совершенные) коды Хэмминга длины  $q + 1$ . Приведем порождающую матрицу  $G_b$  для  $[q + 2, 3, \{q, q + 2\}]_q$ -кодов Буша, отличающуюся от матриц, приведенных Бушем [28] и Дельсартом [21], так как нам удобнее следовать структуре порождающих матриц, приведенной в теореме 3:

$$G_b = \begin{bmatrix} 1 & 1 & 1 & 1 & 1 & \dots & 1 & \dots & 1 \\ 0 & 1 & 0 & 1 & x_1 & \dots & x_i & \dots & x_{q-2} \\ 0 & 0 & 1 & 1 & y_1 & \dots & y_i & \dots & y_{q-2} \end{bmatrix}, \quad (14)$$

где

$$x_i = \frac{\alpha^i}{1 + \alpha^i + \alpha^{2i}}, \quad y_i = \frac{\alpha^{2i}}{1 + \alpha^i + \alpha^{2i}},$$

а  $\alpha$  – примитивный элемент поля  $F_q$ . Вектор пересечений для этих кодов имеет вид

$$IA = ((q + 2)(q - 1), q^2 - 1; 1, q + 2).$$

**(ПР.5)** *Коды, дуальные к коду Дельсарта*, с параметрами

$$[n = q(q - 1)/2, k = n - 3, 4]_q.$$

Для случая  $q = 2^s \geq 4$  Дельсарт в [25] построил  $q$ -ичные коды с параметрами

$$[q(q - 1)/2, 3, \{q(q - 2)/2, q(q - 1)/2\}]_q.$$

Эти коды являются проективно дуальными к кодам (ПР.4) (см. семейство TF1<sup>d</sup> в [27]). В теореме 2 этот случай соответствует расстоянию  $d = n(q - 2)/(q - 1)$ , откуда следует мощность  $N = q^3$ . Дуальные коды – это расширенные  $q$ -ичные ПР-коды с порождающей матрицей  $G_d$ , состоящей из столбцов  $[1, \alpha^i, \alpha^{2i}]^t$ , таких что  $\text{Tr}(\alpha^{3i}) = 1$ , где  $\text{Tr}(x)$  – функция следа из  $F_q$  в  $F_2$ :

$$\text{Tr}(x) = x + x^2 + x^4 + \dots + x^{q/2}.$$

Вектор пересечений для этих кодов имеет вид

$$IA = ((q - 1)n, (q - 2)(q + 1)(q + 2)/4; 1, q(q - 1)(q - 2)/4).$$

**(ПР.6)** *Дуальные к кодам Деннистона*. Это семейство кодов с параметрами

$$[n = 1 + (q + 1)(h - 1), k = (q + 1)(h - 1) - 2, d = 4]_q,$$

дуальных к  $[n = 1 + (q + 1)(h - 1), 3, \{q(h - 1), n\}]_q$ -кодам Деннистона, где  $1 < h < q$ ,  $h$  делит  $q$ ,  $q = 2^r \geq 4$  (семейство TF2 в [27]). В теореме 1 этот случай соответствует расстоянию  $d = (n - 1)q/(q + 1) = n - h + 1$ , откуда следует мощность  $N = q^3$ . Дуальные коды – это расширенные  $q$ -ичные коды с  $d = 4$ . При  $h = 2$  получаем коды Буша (ПР.4). Коды (ПР.6) образованы максимальными дугами проективной плоскости [18]. Эта конструкция соответствует теореме 3. Кратко поясним,

следуя Деннистону, построение таких кодов для произвольного  $q = 2^m \geq 4$  и натурального  $h \geq 2$ , делящего  $q$ , т.е.  $h = 2^u \leq q/2$ . Для заданного поля  $\mathbb{F}_q$  пусть  $H$  – подгруппа порядка  $h$  аддитивной группы поля  $\mathbb{F}_q$ . Пусть  $\varphi(x, y)$  – неприводимая квадратичная форма над  $\mathbb{F}_q$ , например, вида  $\varphi(x, y) = ax^2 + bxy + cy^2$ . Тогда  $[n, 3, \{d, n\}]_q$ -код Деннистона [18] (см. также [19]) порождается следующей  $(3 \times n)$ -матрицей:

$$G_{dn} = \begin{bmatrix} 1 & 1 & \dots & 1 \\ x_1 & x_2 & \dots & x_n \\ y_1 & y_2 & \dots & y_n \end{bmatrix}, \quad (15)$$

где  $n = (q+1)((h-1)+1)$ ,  $d = n-h$ , а  $(x_i, y_i)$  – все упорядоченные пары элементов поля  $\mathbb{F}_q$ , такие что  $\varphi(x_i, y_i) \in H$ .

Приведем теперь новую явную конструкцию матриц  $G_{dn}$ , порождающих коды Деннистона. Пусть  $\{z_1 = 1, z_2, \dots, z_{h-1}\}$  – ненулевые элементы подполя  $\mathbb{F}_h$  поля  $\mathbb{F}_q$ . Пусть  $G_b^-$  – матрица размера  $3 \times (q+1)$ , полученная из  $G_b$  удалением первого столбца. Тогда матрица  $G_{dn}$  имеет вид

$$G_{dn} = [G_b | G_b^-(z_2) | \dots | G_b^-(z_{h-1})],$$

где матрица  $G_b^-(z_i)$  для любого  $i = 2, \dots, h-1$  получается из  $G_b^-$  умножением второй и третьей строки на элемент  $z_i$ .

Если множества всех элементов  $\{x_i\}$  и  $\{y_i\}$  не удовлетворяют теореме 3, то нетрудно построить такую порождающую матрицу из матрицы  $G_b$  кода Буша. Для этого случая матрицу  $G_{dn}$  можно представить в виде

$$G_{dn} = [G | G^*(u_1, s_1) | \dots | G^*(u_{h-2}, s_{h-2})].$$

Здесь  $G^*$  получается из  $G_b$  стиранием первого столбца, а затем  $G^*(u_i, s_i)$  получается из  $G^*$  умножением второй строки матрицы  $G^*$  на  $\alpha^{u_i}$  и третьей строки  $G^*$  на  $\alpha^{s_i}$ . Существование таких натуральных чисел  $u_i$  и  $s_i$  следует из существования таких кодов [18, 27].

Вектор пересечений для этих кодов имеет вид

$$IA = ((q-1)n, (q+1)(h-1)(q-h+1); 1, (h-1)n).$$

## § 5. Основной результат

Теперь сформулируем и докажем основной результат данной статьи.

*Теорема 5. Пусть  $C$  – нетривиальный линейный полностью регулярный  $[n, k, d]_q$ -код с радиусом покрытия  $\rho = 2$ , дуальный код которого  $C^\perp$  является антиподальным, т.е.  $[n, n-k, \{d^\perp, n\}]_q$ -кодом. Тогда код  $C$  имеет параметры, совпадающие с параметрами одного из кодов из рассмотренных семейств (ПР.1)–(ПР.6).*

*Доказательство.* В работе [11] были классифицированы все аддитивные  $(n, N, \{d, n\})_q$ -коды, и в линейном случае они соответствуют дуальным кодам семейств (ПР.1)–(ПР.6). Для независимости нашего изложения мы повторим основные моменты доказательства из [11] для линейного случая.

Поскольку  $C$  – нетривиальный линейный код, его мощность равна  $N = q^k$ , где  $2 \leq k \leq n-2$ .

Начнем со случая  $k = 2$ . Для любого числа  $q$ , являющегося степенью простого числа  $q = p^s$ , из существования  $r$  попарно ортогональных латинских квадратов следует существование  $[r+2, 2, r+1]_q$ -МДР-кода, дуальный код которого является  $[r+2, r, 3]_q$ -ПР-кодом из семейства (ПР.3) (см. замечание 2). Эти коды включают в себя разностно-матричные  $[q, 2, q-1]_q$ -коды наименьшей возможной длины

из семейства (ПР.2), которые существуют для произвольной степени простого  $q$  и совпадают с кодами по латинским квадратам.

Рассмотрим теперь случай  $N = q^3$ . Покажем сначала, что в кодах Деннистона число  $h$  должно делить  $q$ . Из теоремы 4 вытекает, что  $n - d$  – кратное числа  $n - d$ , а значит,  $n$  можно представить в виде  $n = (n - d)\ell$  для некоторого натурального числа  $\ell$ . Следовательно,  $d = n(\ell - 1)/\ell$ , и из (13) получаем

$$d = n \frac{\ell - 1}{\ell} \leq n \frac{q - 1}{q},$$

откуда следует, что  $\ell \leq q$ . Однако случай  $\ell = q$  приводит к разностно-матричному коду, и следовательно,  $\ell < q$ . Теперь предположим, что  $n = 1 + (q + 1)(h - 1)$  и  $d = q(h - 1)$  для некоторого натурального числа  $h \geq 2$ . Из этого следует, что  $n = q(h - 1) + h = d + h$ . Таким образом, объединяя два равенства  $n = 1 + (q + 1)(h - 1)$  и  $d = q(h - 1) = n(\ell - 1)/\ell$ , получаем, что

$$q(h - 1) = (q(h - 1) + h) \frac{\ell - 1}{\ell},$$

откуда следует, что  $h(\ell - 1) = q(h - 1)$ . Поскольку  $h \geq 2$ , и следовательно,  $h$  и  $h - 1$  взаимно просты, то  $h$  делит  $q$ , а значит, мы получаем коды Деннистона или, для случая  $h = 2$ , коды Буша.

Случай  $N = q^4$  также дает линейные коды из семейства (ПР.4) [14]. Действительно, из  $[n, 4, \{d, n\}]_q$ -кода  $C$  можно получить код  $C_0$ , являющийся линейным эквидистантным  $[n - 1, 3, d]_q$ -кодом длины  $n - 1 = (q^4 - 1)/(q - 1)$  с расстоянием  $d = q^3$ , дуальным кодом которого является совершенный  $q$ -ичный код Хэмминга.

Покажем теперь, что для случая  $N = q^4$  не существует кодов типа Буша, Деннистона или Дельсарта. По теореме 3 длина кода Буша или Деннистона должна быть равной  $n = s(q^3 - 1)/(q - 1) + 1$ . Поскольку  $n$  кратно  $n - d$  (см. теорему 3), то длина кода имеет вид  $n = d\ell/(\ell - 1)$  для некоторого натурального  $\ell \leq q$ . Получаем (принимая во внимание, что  $cd = sq^2$ )

$$n = s \frac{q^3 - 1}{q - 1} + 1 = d \frac{\ell}{\ell - 1} = sq^2 \frac{\ell}{\ell - 1}. \quad (16)$$

Далее необходимо рассмотреть случаи  $(s, q - 1) = 1$  и  $(s, q - 1) \geq 2$  по отдельности.

Пусть для начала  $(s, q - 1) = 1$ . Тогда видно, что целое число  $n$ , стоящее в левой части равенства, не делится ни на  $s$ , ни на  $q$ , однако целое число в правой части делится на  $s$  и  $q$ . Полученное противоречие показывает, что таких кодов не существует.

Теперь предположим, что  $(s, q - 1) \geq 2$ . Для случая  $s = q - 1$  получаем, что  $n = q^3$ , и поскольку  $N = q^4$ , т.е.  $N = qn$ , то отсюда следует, что  $C$  – разностно-матричный код (ПР.2).

Пусть теперь  $s = u(q - 1)$ , где  $u \geq 2$ . Подставляя это значение  $s$  в (16), получаем

$$0 \leq uq^2(q - \ell) = -u\ell + (u + \ell) - 1 \leq -1,$$

что не может иметь места, поскольку  $2 \leq \ell \leq q$  и  $u \geq 2$ , что и завершает разбор случая  $N = q^4$ .

Случай  $N = q^k$  для  $k \geq 5$  рассматривается аналогичным образом, и мы его опускаем.

Осталось рассмотреть случай, когда  $q$  – степень нечетного числа.

Для всех кодов семейств (ПР.1)–(ПР.3) приведенные доказательства справедливы как для четного, так и для нечетного случая степени простого  $q$ .

В 1952 г. Буш [28] доказал несуществование  $(q+2, 3, q)_q$ -кодов для нечетных  $q$ , т.е. кодов семейства (ПР.4), откуда следует несуществование  $[q(q-1)/2, 3, \{q(q-2)/2, q(q-1)/2\}]_q$ -кодов Дельсарта семейства (ПР.5) для случая нечетного  $q$  (поскольку они проективно дуальны к кодам Буша [27]). Затем в 1997 г. в работе [29] было доказано несуществование максимальных дуг в плоскостях Дезарга нечетного порядка, откуда следует несуществование кодов Деннистона семейства (ПР.6) для нечетных  $q$ . ▲

#### СПИСОК ЛИТЕРАТУРЫ

1. Neumaier A. Distance Matrices, Dimension, and Conference Graphs // *Nederl. Akad. Wetensch. Indag. Math.* 1981. V. 43. № 4. P. 385–391. [https://doi.org/10.1016/1385-7258\(81\)90059-7](https://doi.org/10.1016/1385-7258(81)90059-7)
2. Бассальго Л.А., Зайцев Г.В., Зиновьев В.А. О равномерно упакованных кодах // *Пробл. передачи информ.* 1974. Т. 10. № 1. С. 9–14. <https://www.mathnet.ru/ppi1014>
3. Семаков Н.В., Зиновьев В.А., Зайцев Г.В. Равномерно упакованные коды // *Пробл. передачи информ.* 1971. Т. 7. № 1. С. 38–50. <https://www.mathnet.ru/ppi1621>
4. Goethals J.-M., van Tilborg H.C.A. Uniformly Packed Codes // *Philips Res. Rep.* 1975. V. 30. P. 9–36.
5. Боржес Ж., Рифа Ж., Зиновьев В.А. О полностью регулярных кодах // *Пробл. передачи информ.* 2019. Т. 55. № 1. С. 3–50. <https://doi.org/10.1134/S0134347519010017>
6. Brouwer A.E., Cohen A.M., Neumaier A. Distance-Regular Graphs. Berlin: Springer, 1989.
7. van Dam E.R., Koolen J.H., Tanaka H. Distance-Regular Graphs // *Electron. J. Combin.* 2016. Dynamic Surveys, DS22 (156 pp.). <https://doi.org/10.37236/4925>
8. Koolen J., Krotov D., Martin B. Completely Regular Codes (electronic pages). <https://sites.google.com/site/completelyregularcodes>
9. Bonisoli A., Every Equidistant Linear Code Is a Sequence of Dual Hamming Codes // *Ars Combin.* 1984. V. 18. P. 181–186.
10. Borges J., Rifà J., Zinoviev V.A. On  $q$ -ary Linear Completely Regular Codes with  $\rho = 2$  and Antipodal Dual // *Adv. Math. Commun.* 2010. V. 4. № 4. P. 567–578. <https://doi.org/10.3934/amc.2010.4.567>
11. Бойваленков П., Дельчев К., Зиновьев Д.В., Зиновьев В.А. О кодах с расстояниями  $d$  и  $n$  // *Пробл. передачи информ.* 2022. Т. 58. № 4. С. 62–83. <https://doi.org/10.31857/S0555292322040064>
12. Delsarte P. An Algebraic Approach to the Association Schemes of Coding Theory // *Philips Res. Rep. Suppl.* 1973. № 10 (97 pp.).
13. Бассальго Л.А., Зиновьев В.А. Замечание о равномерно упакованных кодах // *Пробл. передачи информ.* 1977. Т. 13. № 3. С. 22–25. <https://www.mathnet.ru/ppi1091>
14. Семаков Н.В., Зиновьев В.А., Зайцев Г.В. Класс максимальных эквидистантных кодов // *Пробл. передачи информ.* 1969. Т. 5. № 2. С. 84–87. <https://www.mathnet.ru/ppi1804>
15. Бассальго Л.А., Додунев С.М., Зиновьев В.А., Хеллесет Т. Граница Грея–Рэнкина для не двоичных кодов // *Пробл. передачи информ.* 2006. Т. 42. № 3. С. 37–44. <https://www.mathnet.ru/rus/ppi51>
16. Helleseth T., Kløve T., Levenshtein V.I. A Bound for Codes with Given Minimum and Maximum Distances // *Proc. 2006 IEEE Int. Symp. on Information Theory (ISIT'2006)*. Seattle, WA, USA. July 9–14, 2006. P. 292–296. <https://doi.org/10.1109/ISIT.2006.261600>
17. Beth T., Jungnickel D., Lenz B. Design Theory. Cambridge, UK: Cambridge Univ. Press, 1986.
18. Denniston R.H.F. Some Maximal Arcs in Finite Projective Planes // *J. Combin. Theory.* 1969. V. 6. № 3. P. 317–319. [https://doi.org/10.1016/S0021-9800\(69\)80095-5](https://doi.org/10.1016/S0021-9800(69)80095-5)
19. Thas J.A. Projective Geometry over a Finite Field // *Handbook of Incidence Geometry: Buildings and Foundations*. Amsterdam: Elsevier, 1995. Ch. 7. P. 295–347. <https://doi.org/10.1016/B978-044488355-1/50009-8>

20. *Bouyukliev I.G.* Classification of Griesmer Codes and Dual Transform // Discrete Math. 2009. V. 309. № 12. P. 4049–4068. <https://doi.org/10.1016/j.disc.2008.12.002>
21. *Delsarte P.* Two-Weight Linear Codes and Strongly Regular Graphs // MBLE Research Lab. Report R160. Brussels, Belgium, 1971.
22. *Boyvalenkov P., Delchev K., Zinoviev D.V., Zinoviev V.A.* On Two-Weight Codes // Discrete Math. 2021. V. 344. № 5. Paper No. 112318 (15 pp.). <https://doi.org/10.1016/j.disc.2021.112318>
23. *Farrell P.G.* Linear Binary Anticodes // Electron. Lett. 1970. V. 6. № 13. P. 419–421. <https://doi.org/10.1049/el:19700293>
24. *Hamada N., Helleseth T.* Codes and Minihypers // Proc. 3rd EuroWorkshop on Optimal Codes and Related Topics (OC'2001). Sunny Beach, Bulgaria. June 10–16, 2001. P. 79–84.
25. *Delsarte P.* Weights of Linear Codes and Strongly Regular Normed Spaces // Discrete Math. 1972. V. 3. № 1–3. P. 47–64. [https://doi.org/10.1016/0012-365X\(72\)90024-6](https://doi.org/10.1016/0012-365X(72)90024-6)
26. *Бойваленков П., Делчев К., Зинovieв Д.В., Зинovieв В.А.* О  $q$ -ичных кодах с двумя расстояниями  $d$  и  $d + 1$  // Пробл. передачи информ. 2020. Т. 56. № 1. С. 38–50. <https://doi.org/10.31857/S0555292320010040>
27. *Calderbank R., Kantor W.M.* The Geometry of Two-Weight Codes // Bull. London Math. Soc. 1986. V. 18. № 2. P. 97–122. <https://doi.org/10.1112/blms/18.2.97>
28. *Bush K.A.* Orthogonal Arrays of Index Unity // Ann. Math. Statist. 1952. V. 23. № 3. P. 426–434. <https://doi.org/10.1214/aoms/1177729387>
29. *Ball S., Blokhuis A., Mazzocca F.* Maximal Arcs in Desarguesian Planes of Odd Order Do Not Exist // Combinatorica. 1997. V. 17. № 1. P. 31–41. <https://doi.org/10.1007/BF01196129>

*Боржес Жуаким* (Borges, Joaquim)  
 Факультет информационно-коммуникационных технологий,  
 Независимый университет Барселоны, Испания  
[joaquim.borges@uab.cat](mailto:joaquim.borges@uab.cat)  
*Зинovieв Виктор Александрович*  
*Зинovieв Дмитрий Викторович*  
 Институт проблем передачи информации  
 им. А.А. Харкевича РАН, Москва  
[vazinov@iitp.ru](mailto:vazinov@iitp.ru)  
[dzinov@iitp.ru](mailto:dzinov@iitp.ru)

Поступила в редакцию  
 14.06.2023  
 После доработки  
 27.11.2023  
 Принята к публикации  
 27.11.2023

**Р е д к о л л е г и я :**

**Главный редактор А.Н. СОБОЛЕВСКИЙ**

**А.М. БАРГ, Л.А. БАССАЛЫГО, В.А. ЗИНОВЬЕВ, В.В. ЗЯБЛОВ,  
И.А. ИБРАГИМОВ, Н.А. КУЗНЕЦОВ (зам. главного редактора),  
В.А. МАЛЫШЕВ, Д.Ю. НОГИН (ответственный секретарь),  
В.М. ТИХОМИРОВ, Ю.Н. ТЮРИН, Б.С. ЦЫБАКОВ**

Зав. редакцией *С.В. ЗОЛОТАЙКИНА*

Адрес редакции: 127051, Москва, Б. Каретный пер., 19, стр. 1, тел. (495) 650-47-39

Оригинал-макет подготовил *Д.Ю. Ногин*

**Москва  
ФГБУ Издательство «Наука»**